

Fig. 10S, Shkrob et al

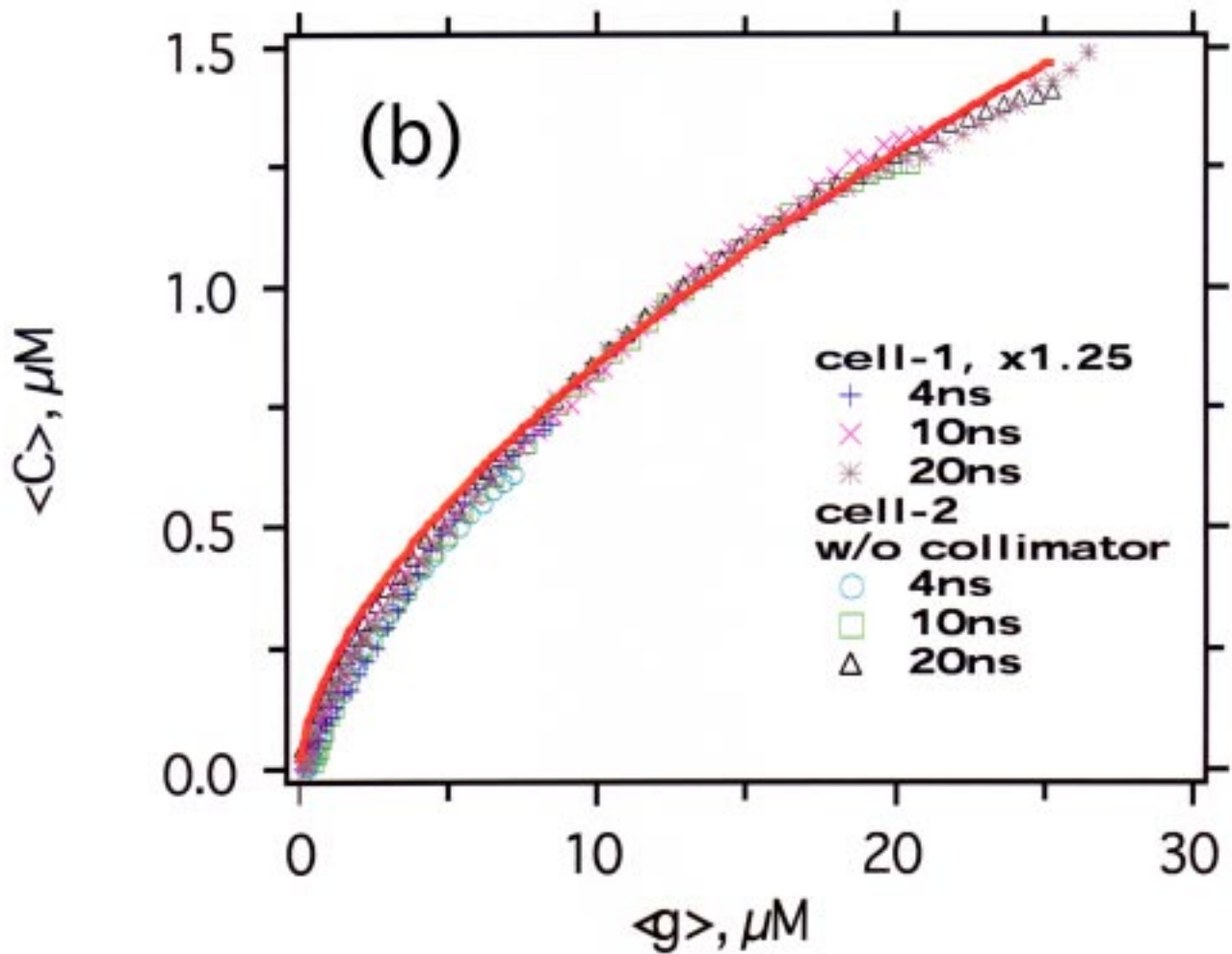
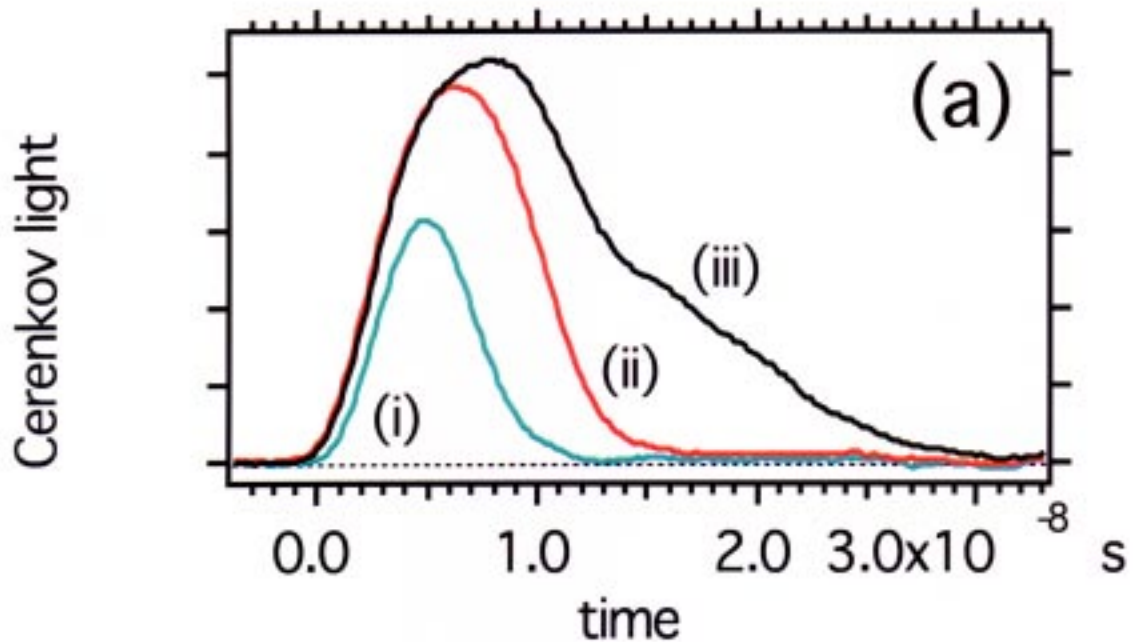


Fig. 11S, Shkrob et al

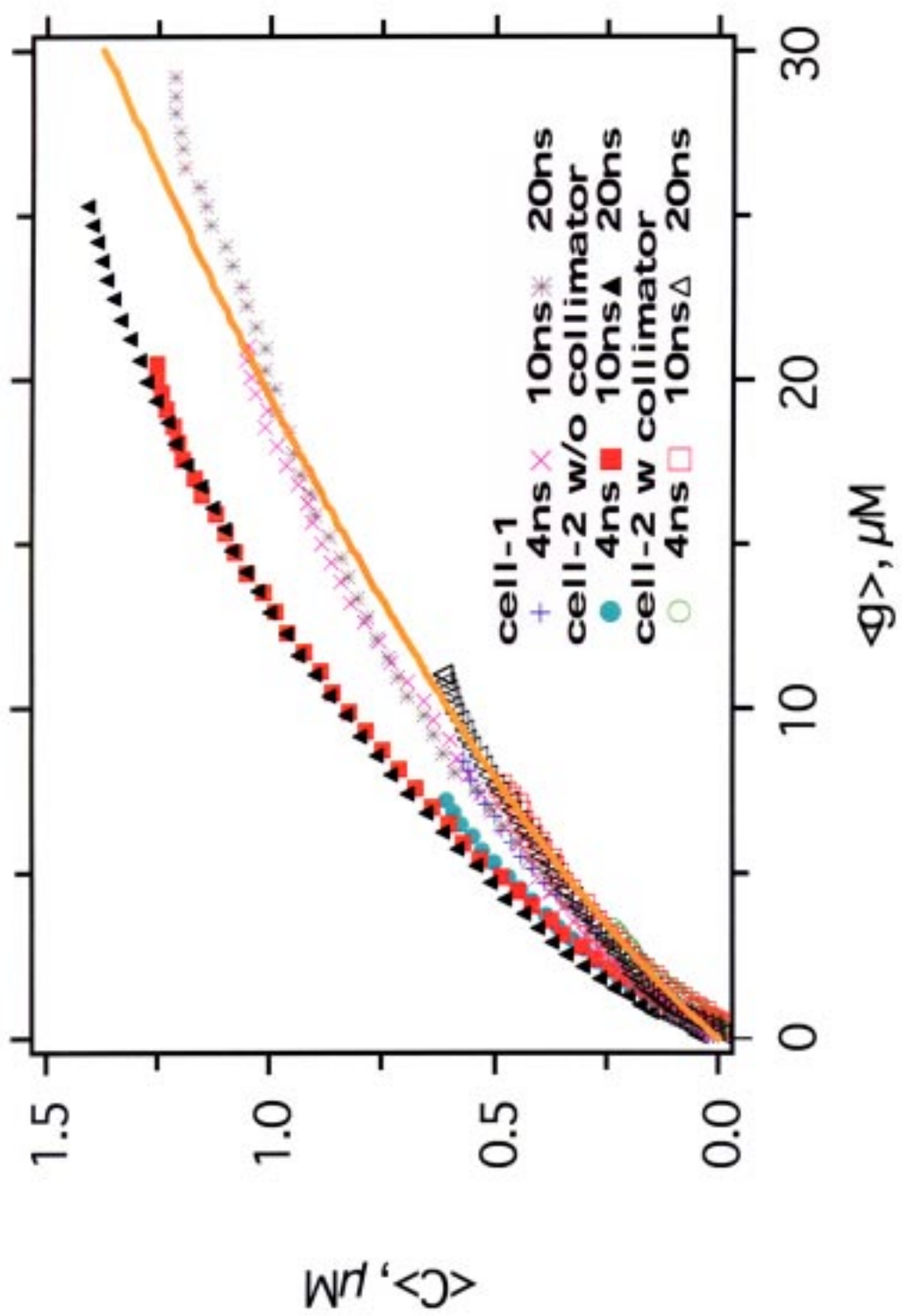


Fig. 12S, Shkrob et al

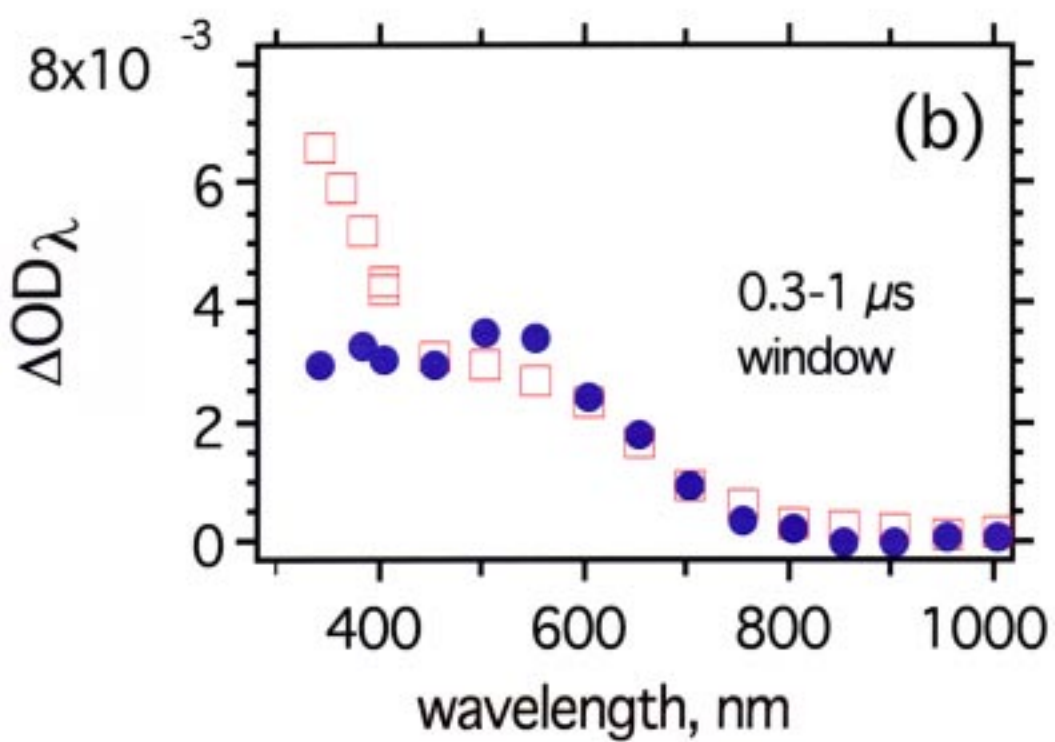
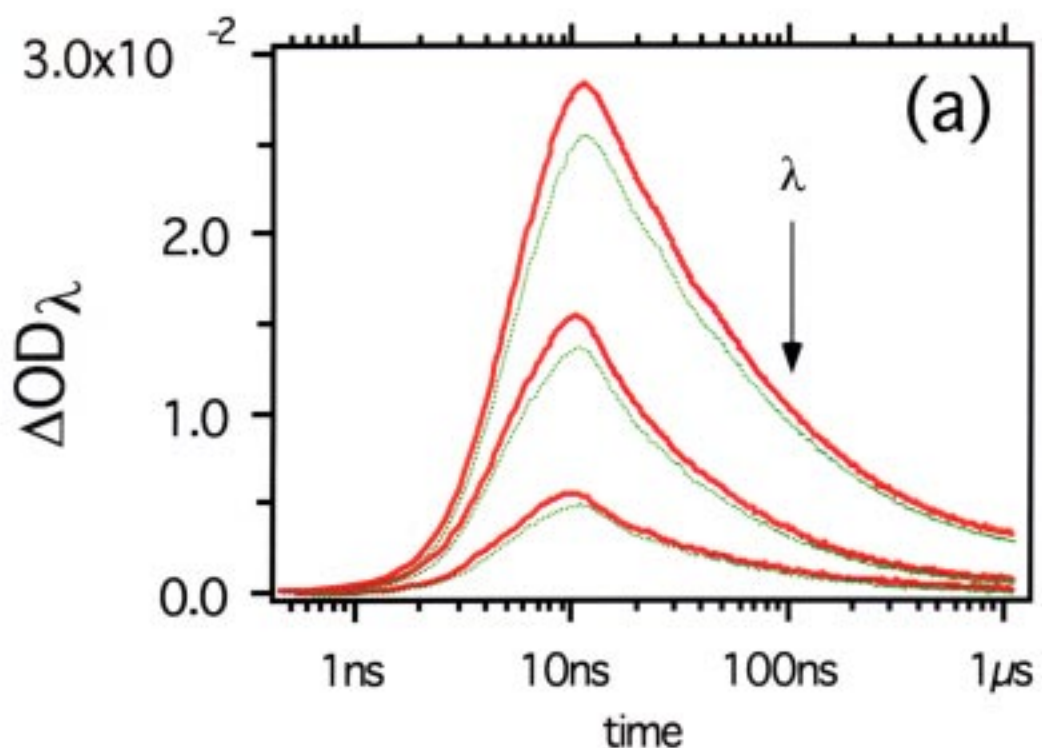


Fig. 13S, Shkrob et al

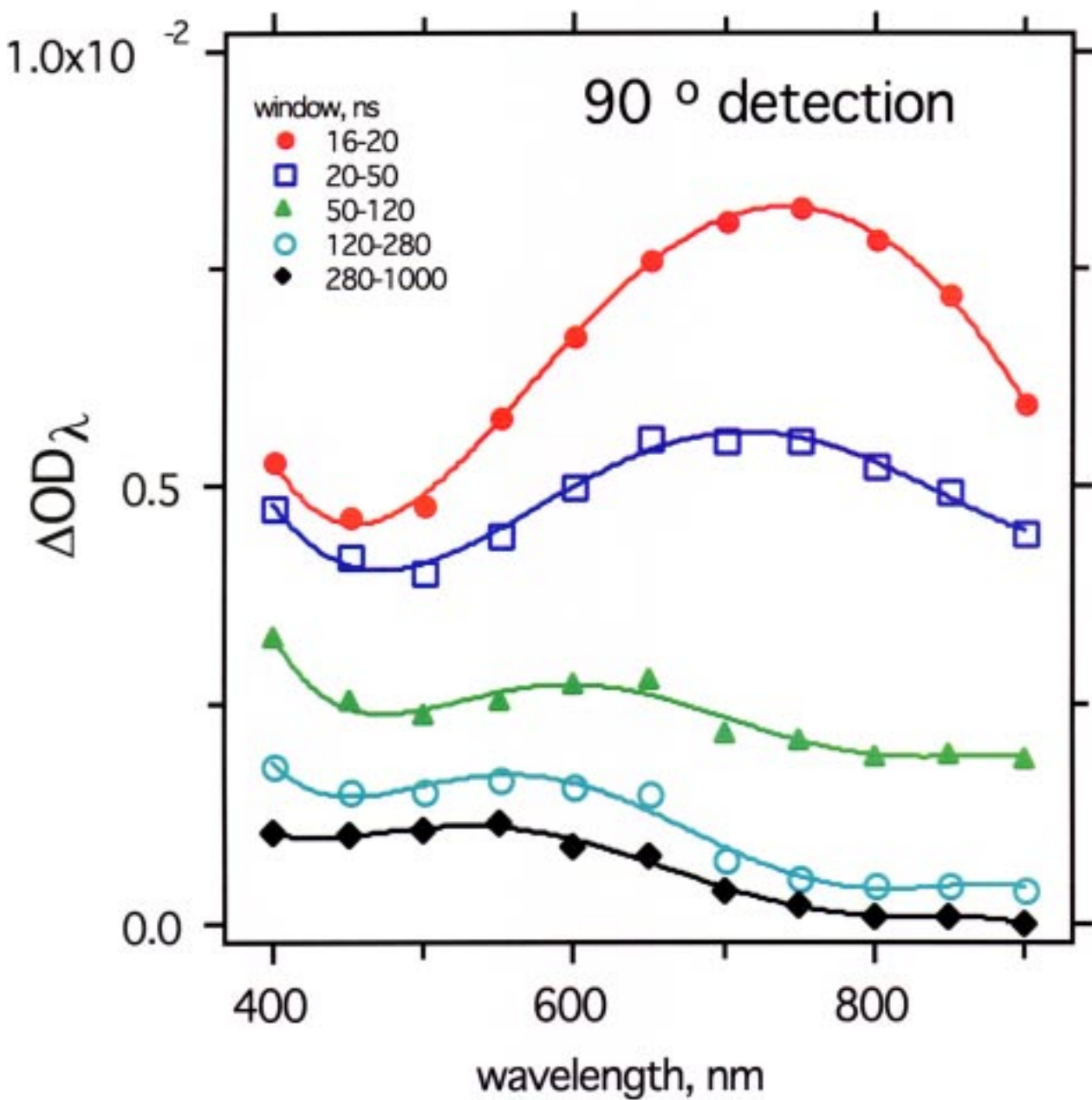


Fig. 14S, Shkrob et al

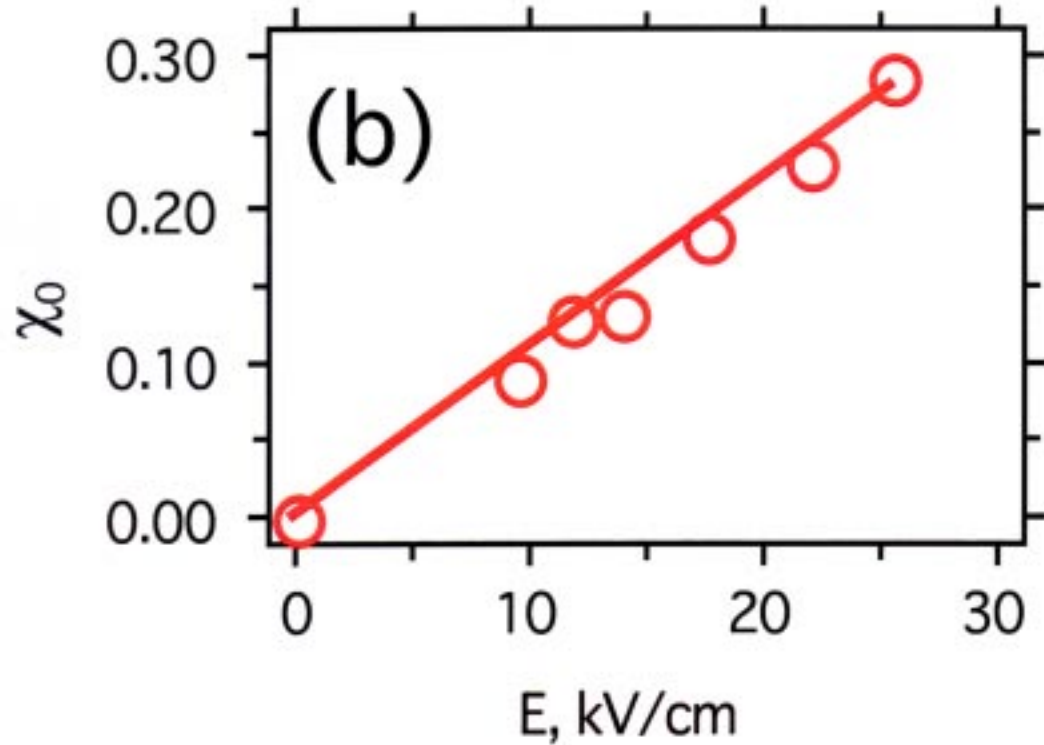
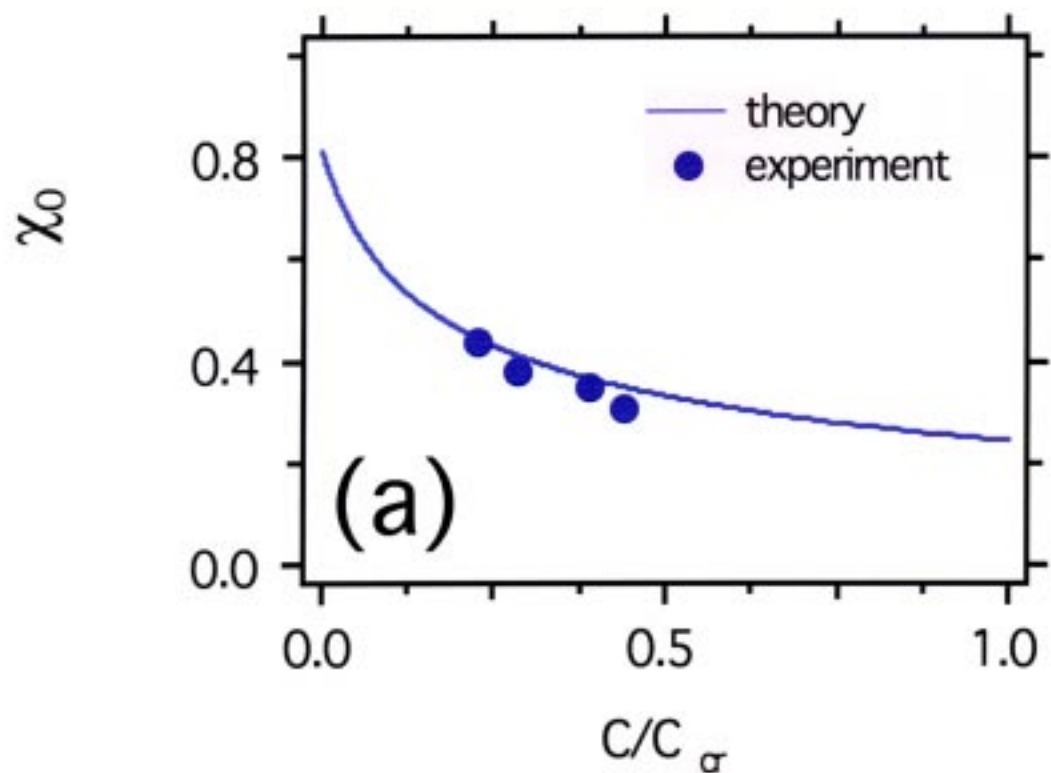


Fig. 15S, Shkrob et al

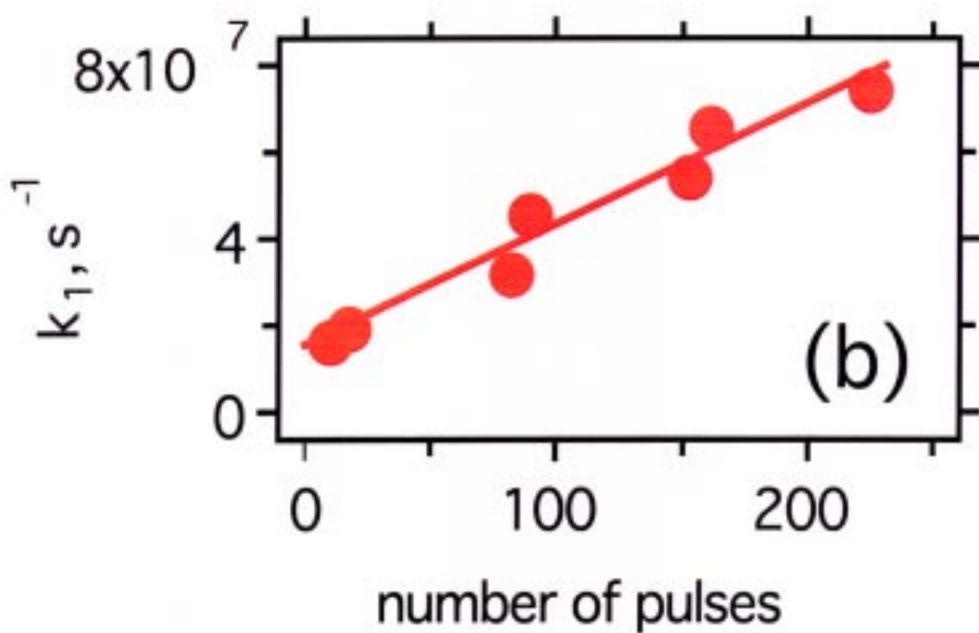
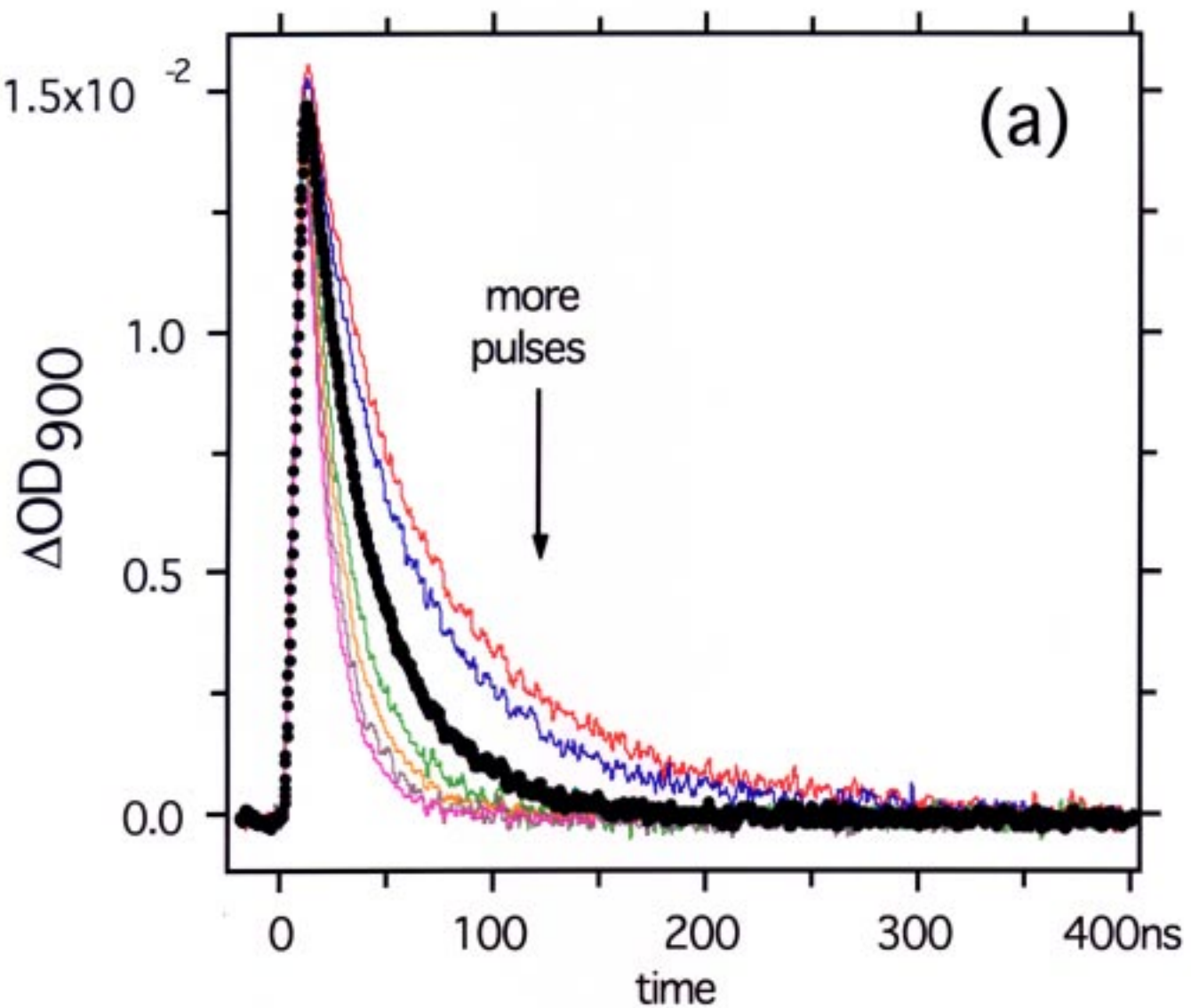


Fig. 16S, Shkrob et al

field effect

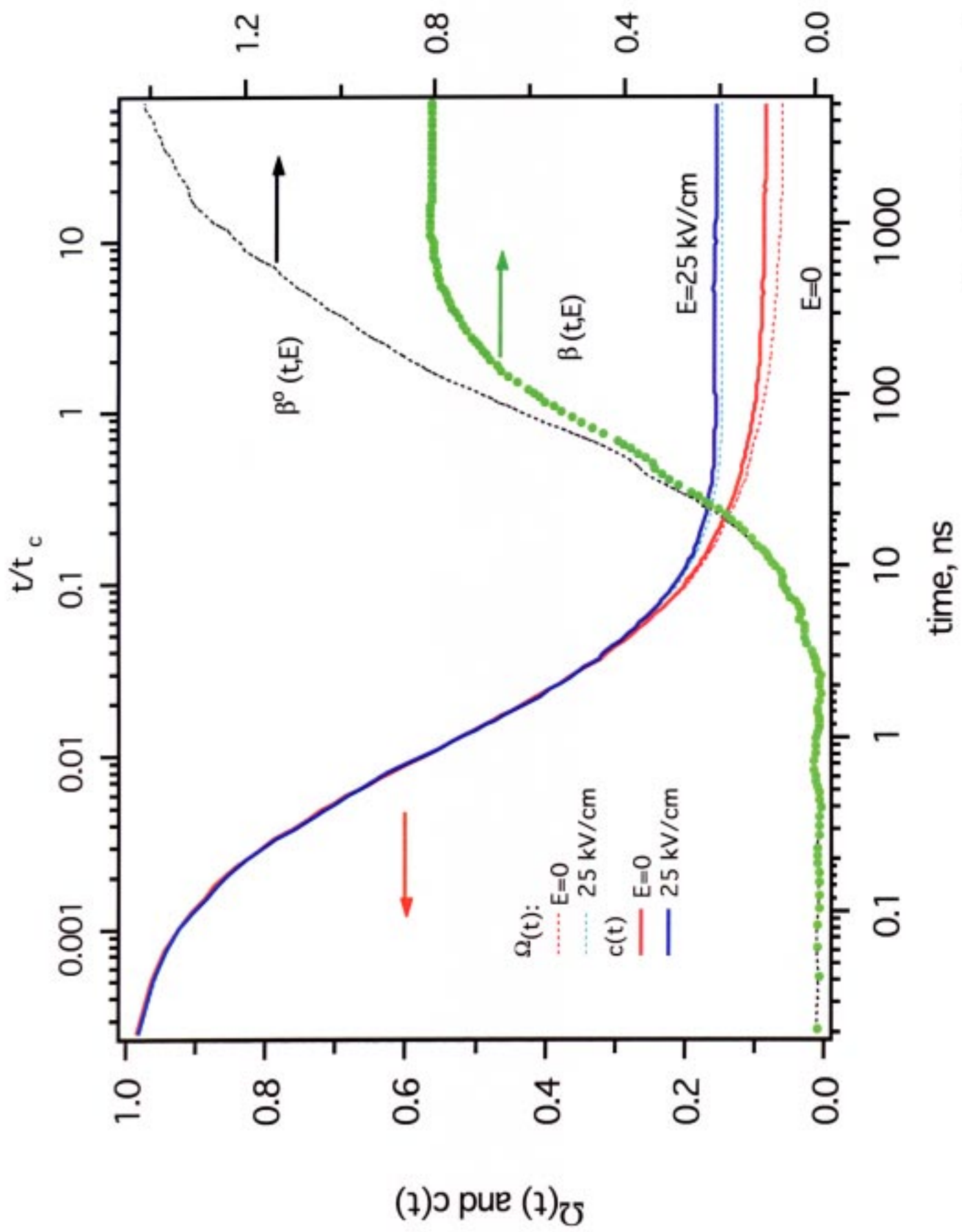


Fig. 17S, Shkrob et al

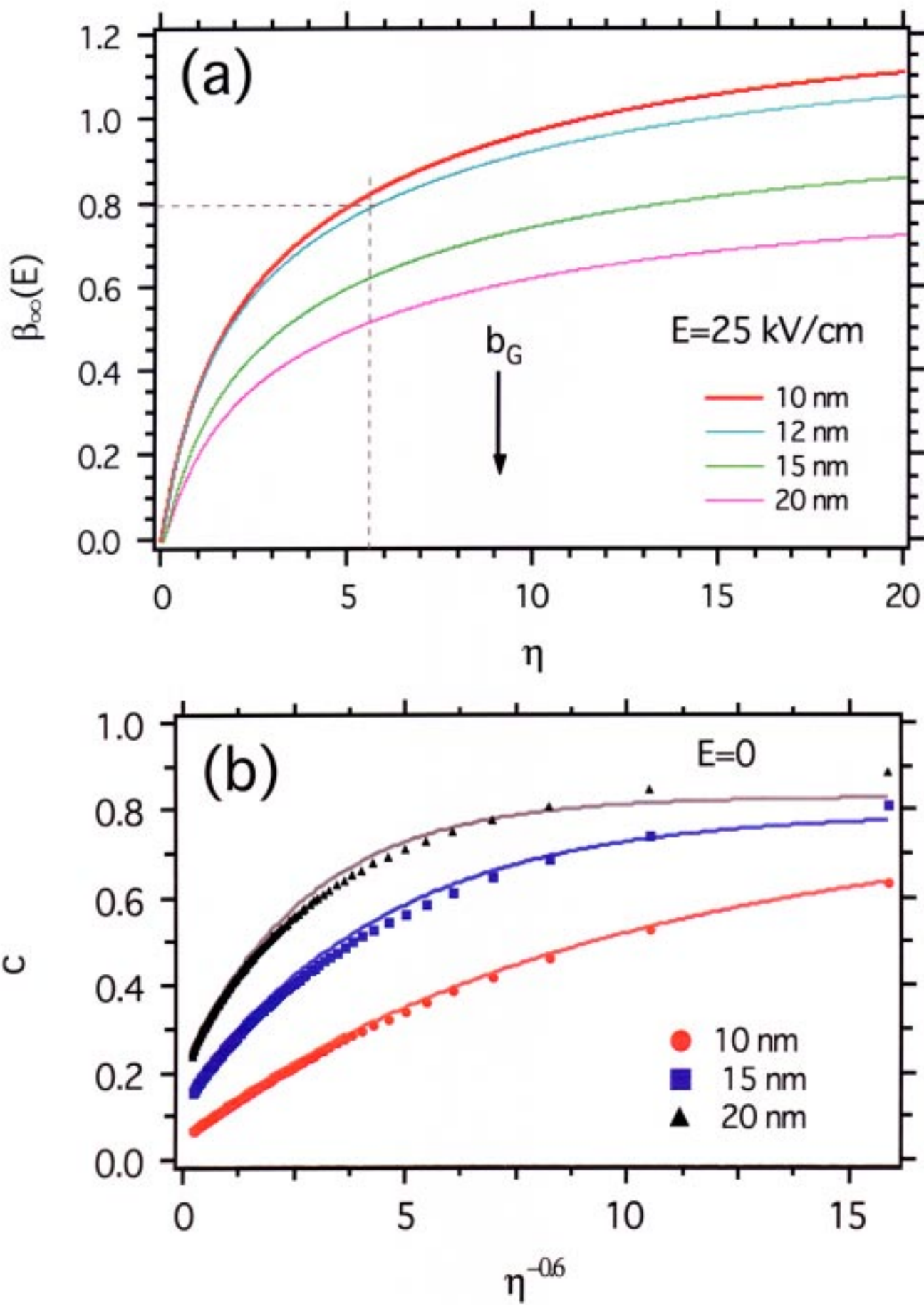


Fig. 18S, Shkrob et al

## field effect, $\chi$

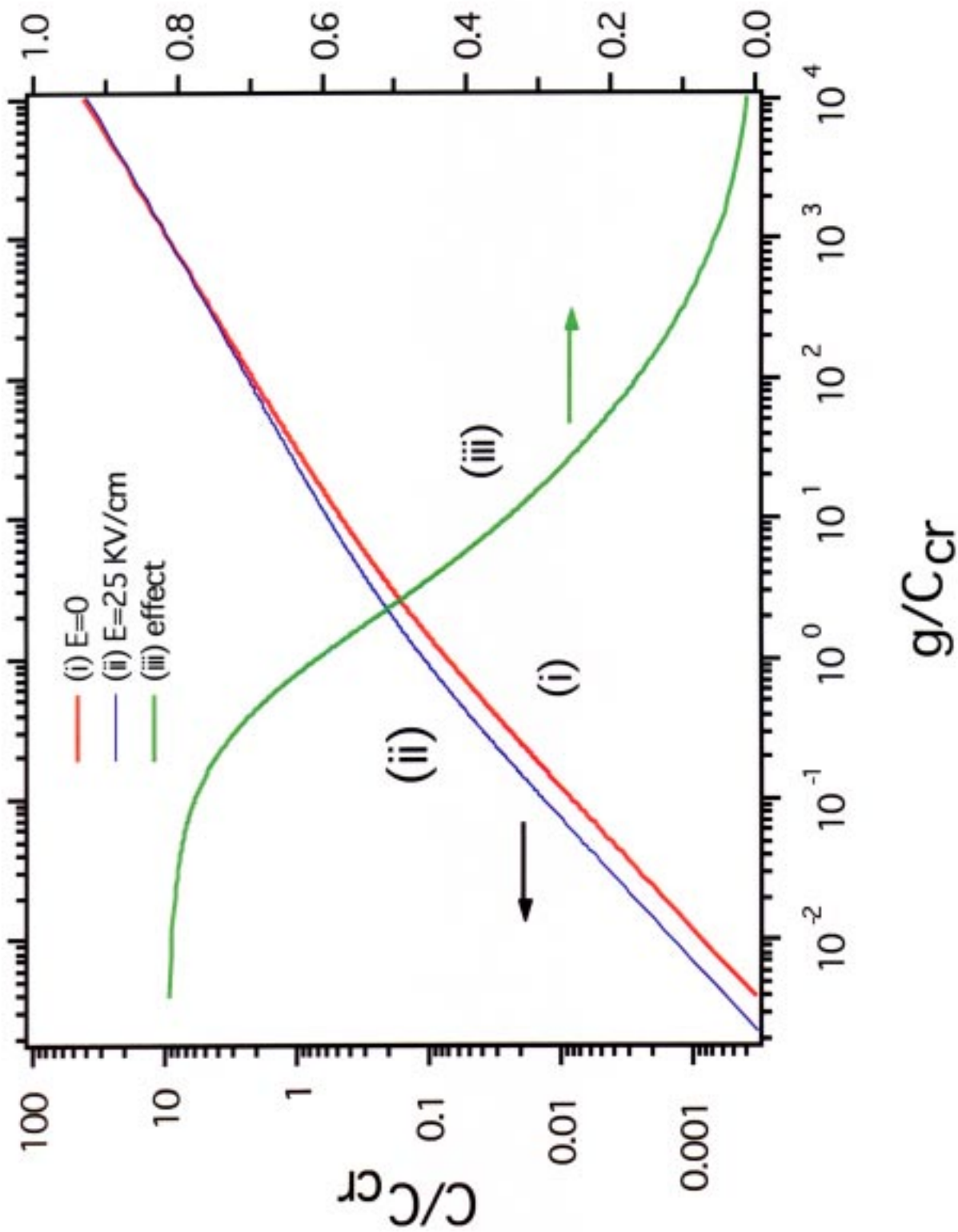


Fig. 19S, Shkrob et al

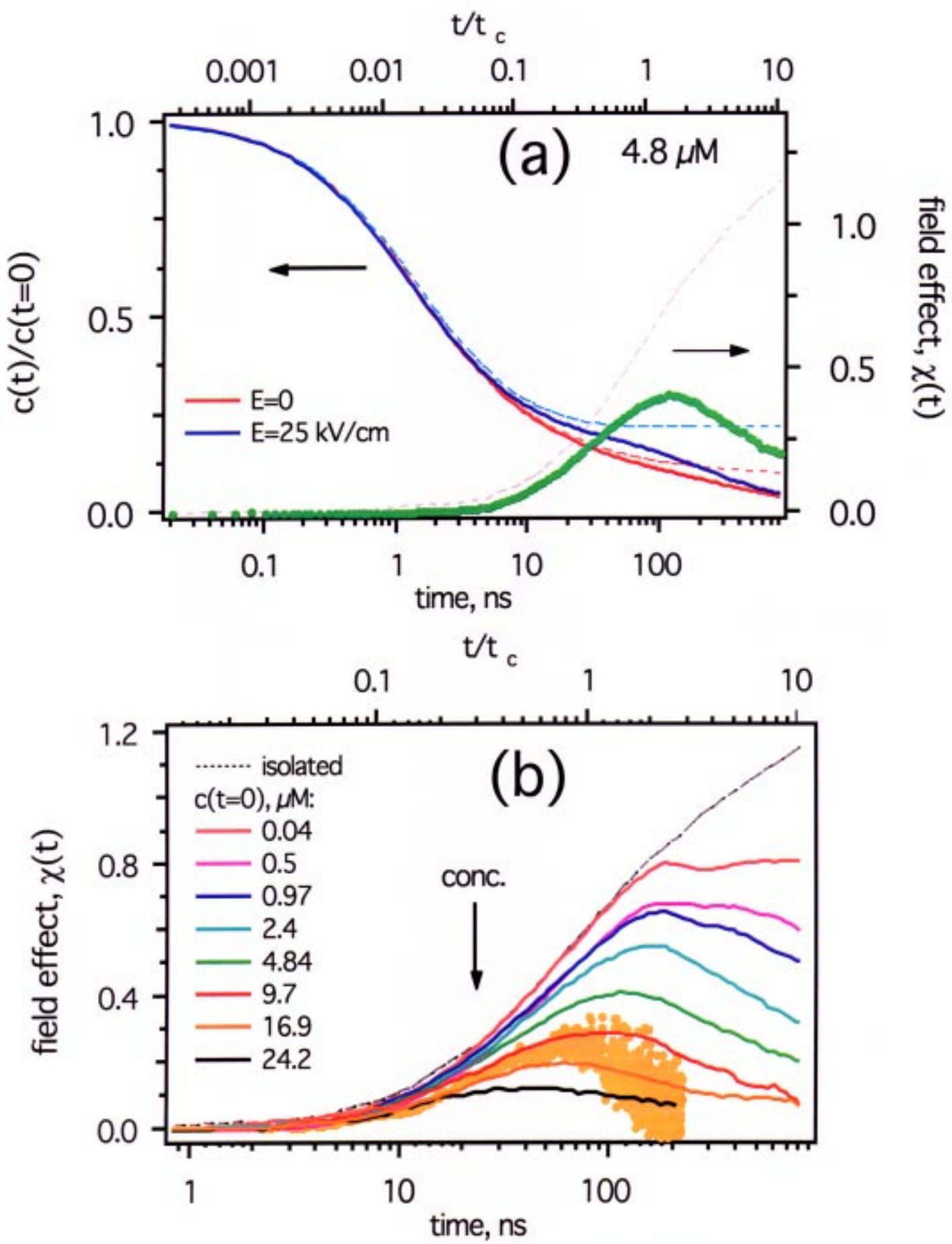


Fig. 20S, Shkrob et al

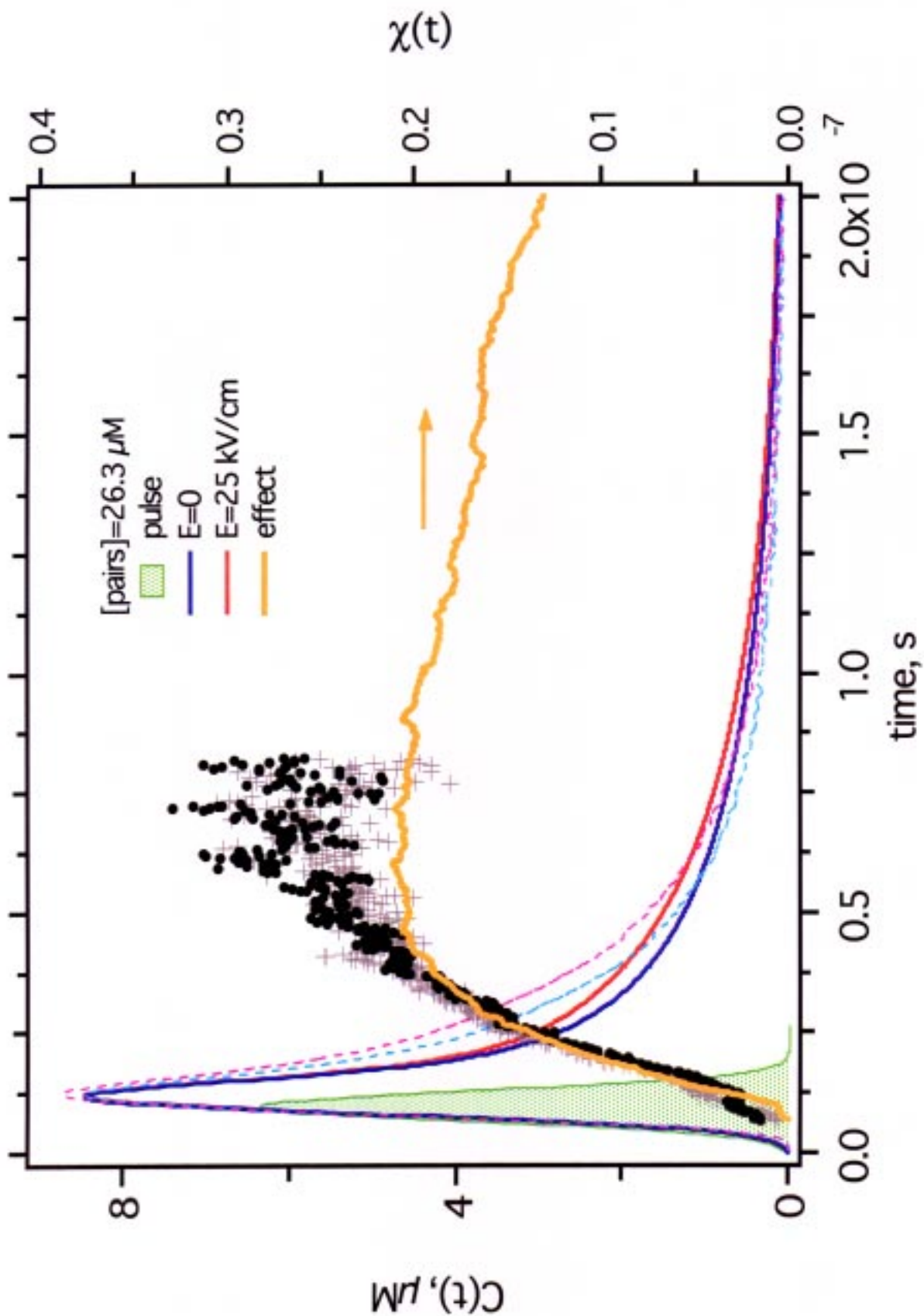


Fig. 21S, Shkrob et al

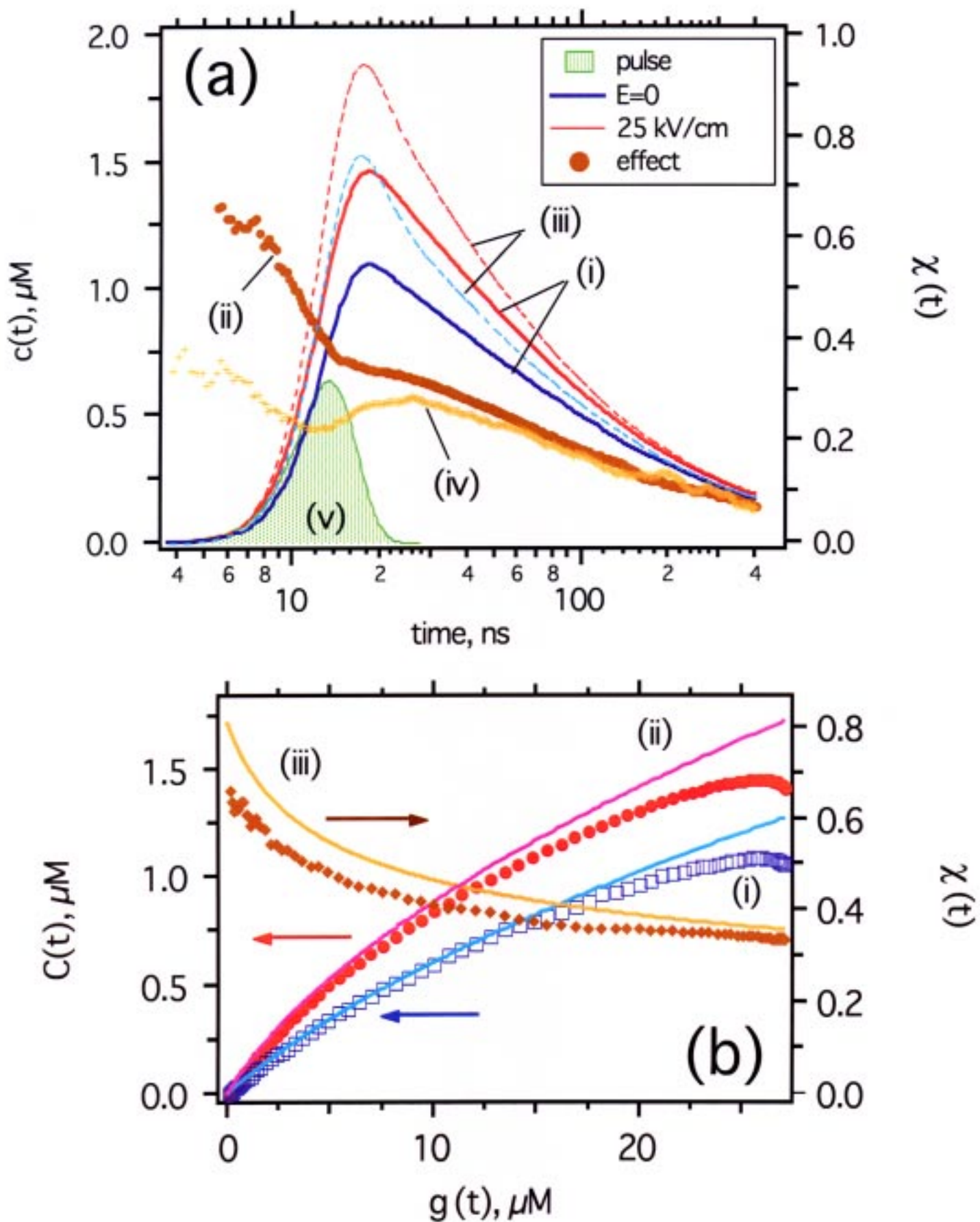


Fig. 22S, Shkrob et al

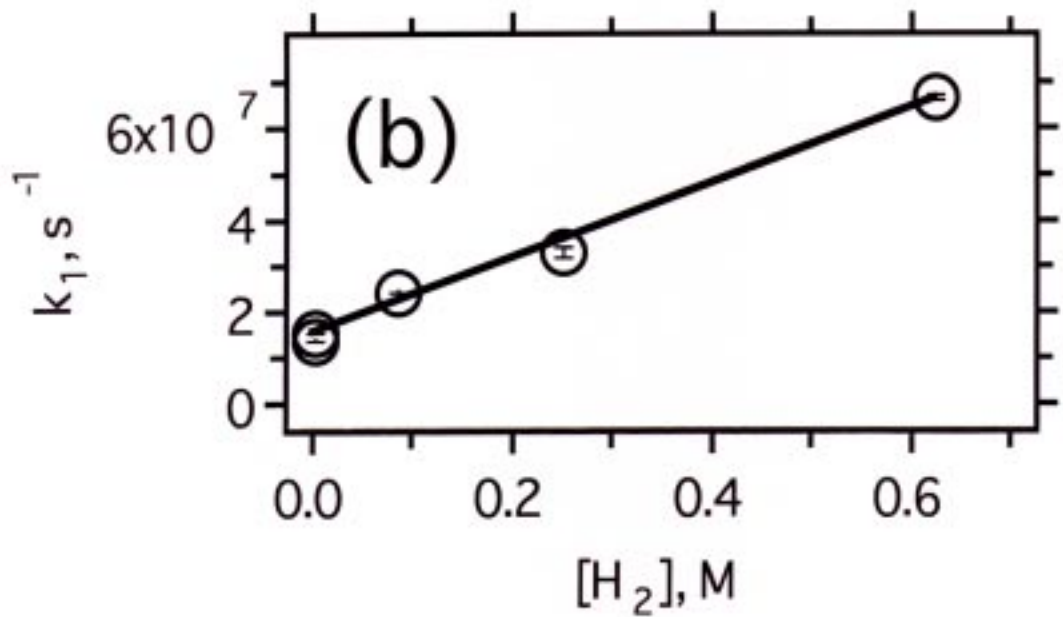
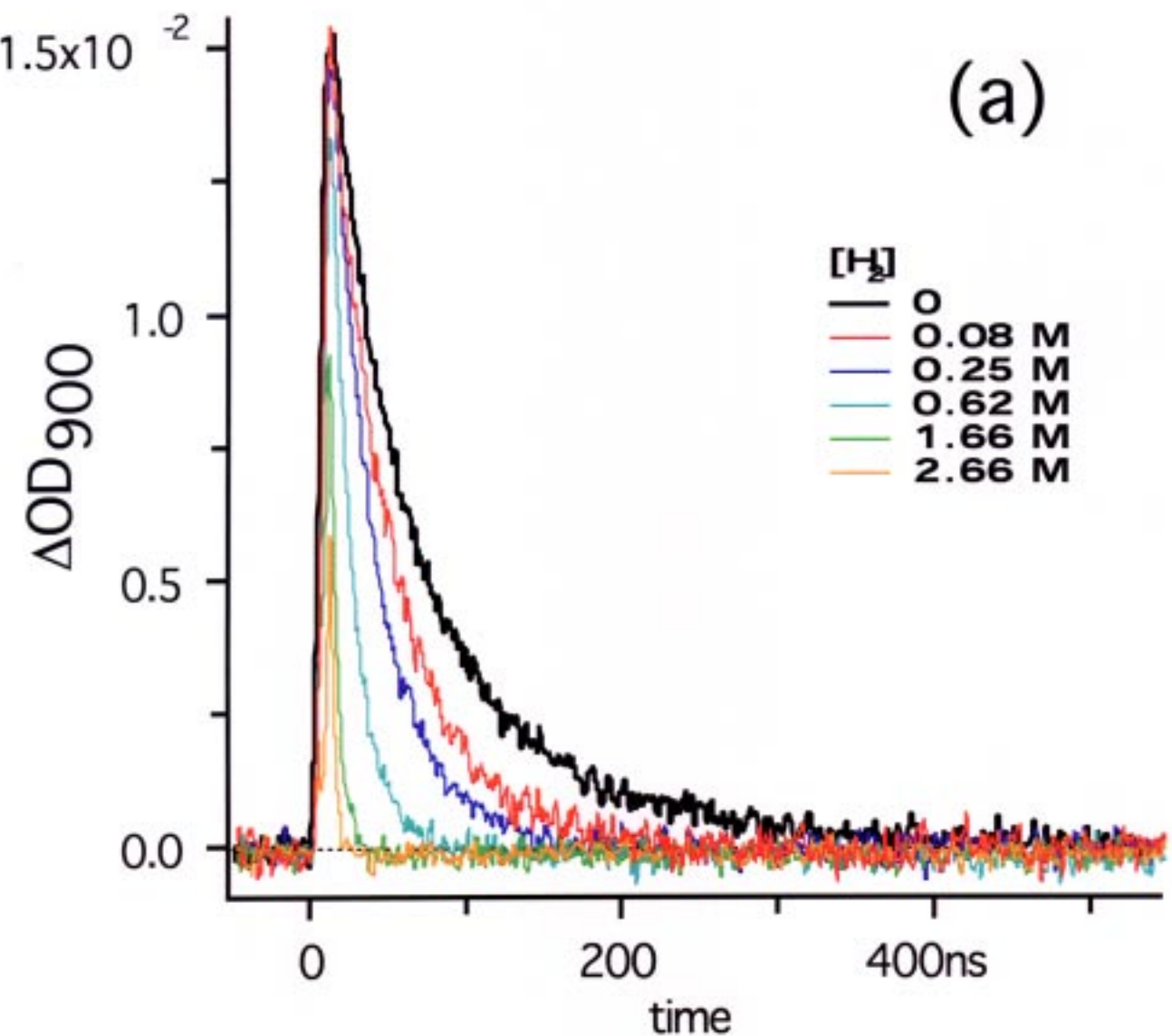


Fig. 23S, Shkrob et al

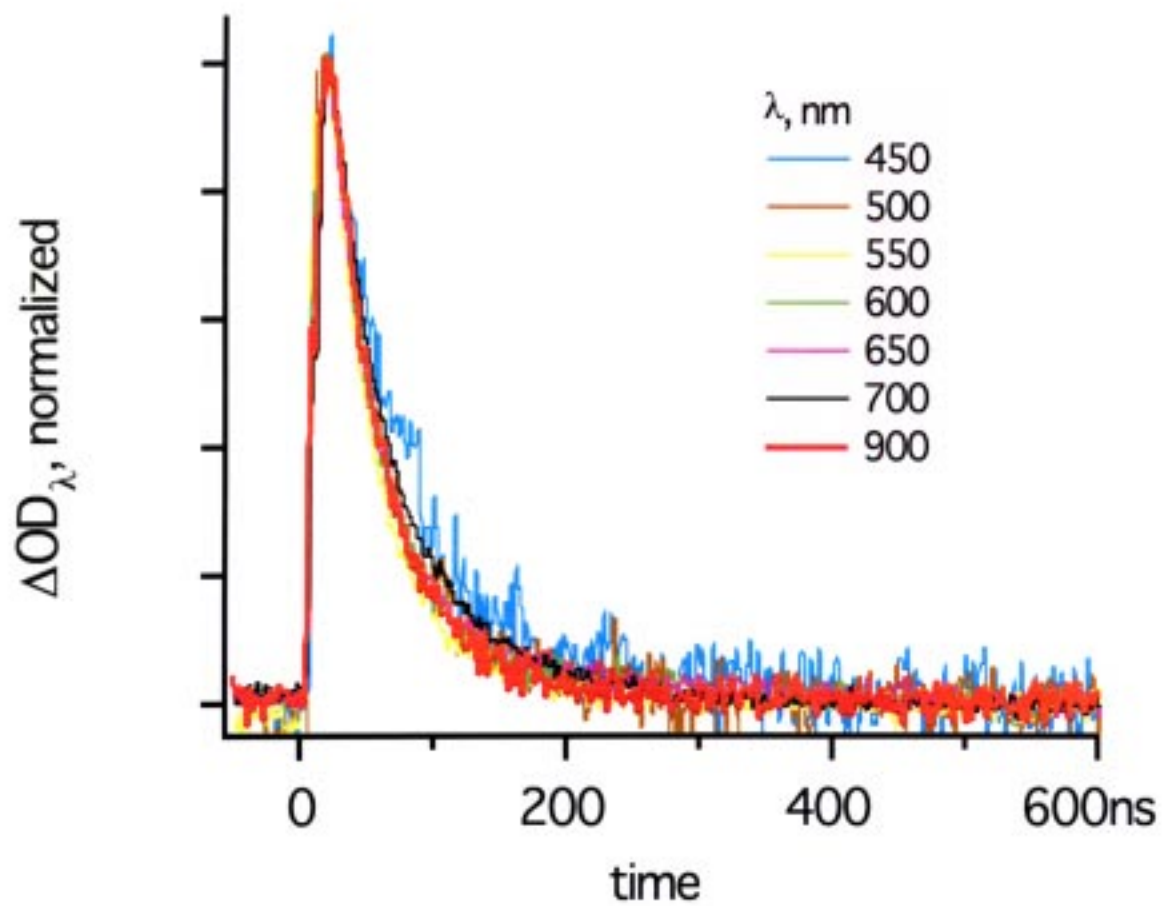


Fig. 24S, Shkrob et al

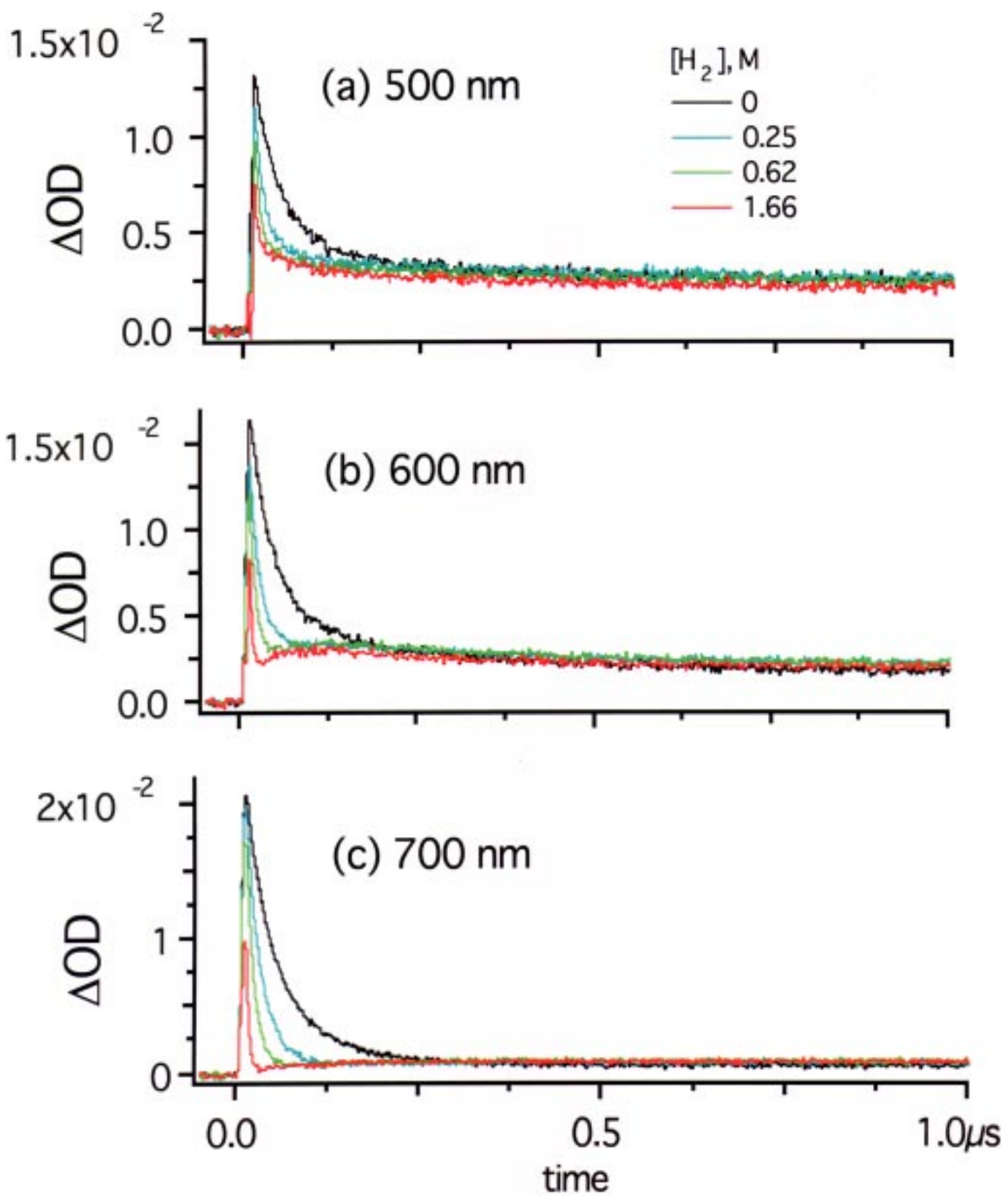


Fig. 25S, Shkrob et al

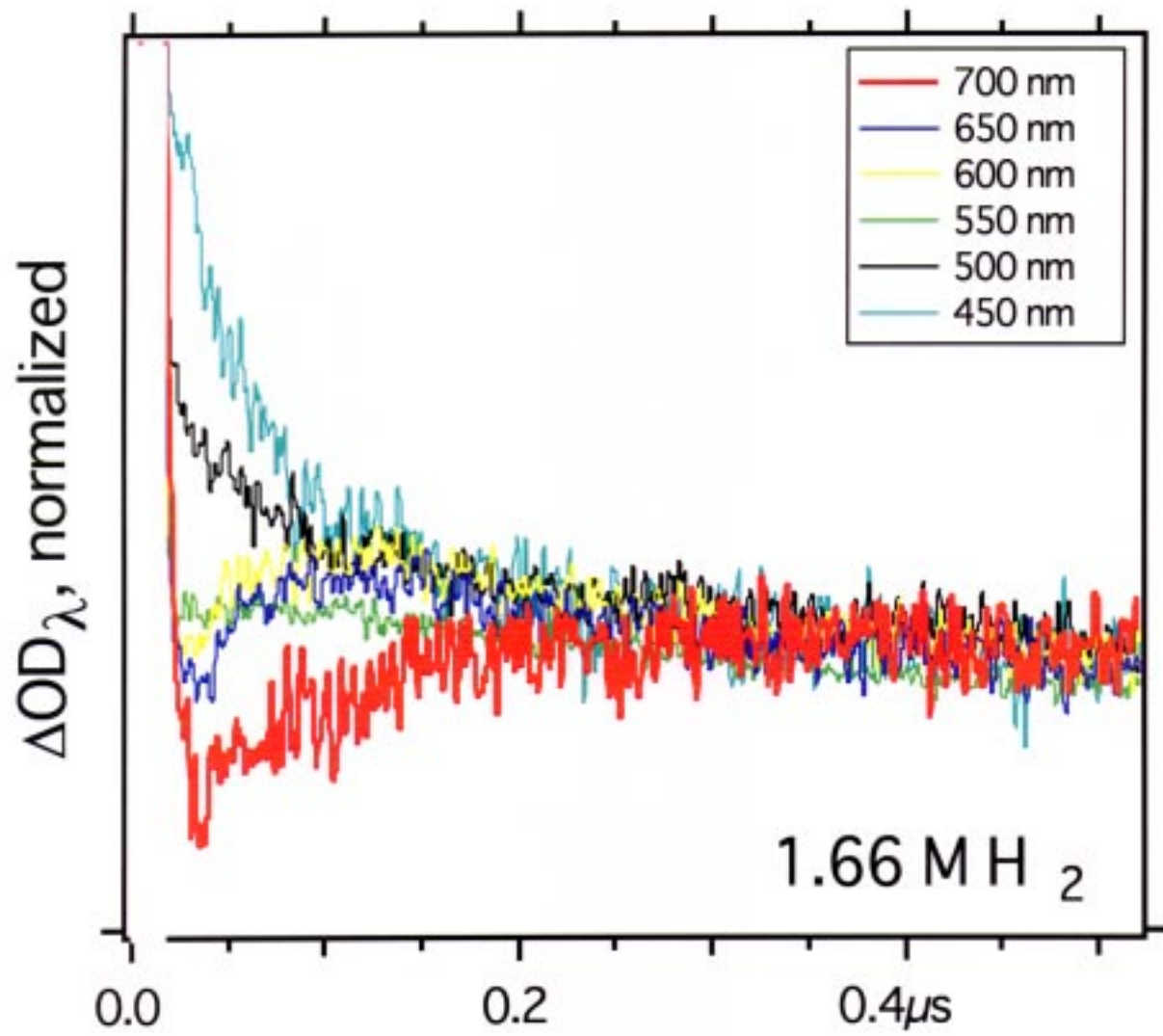


Fig. 26S, Shkrob et al

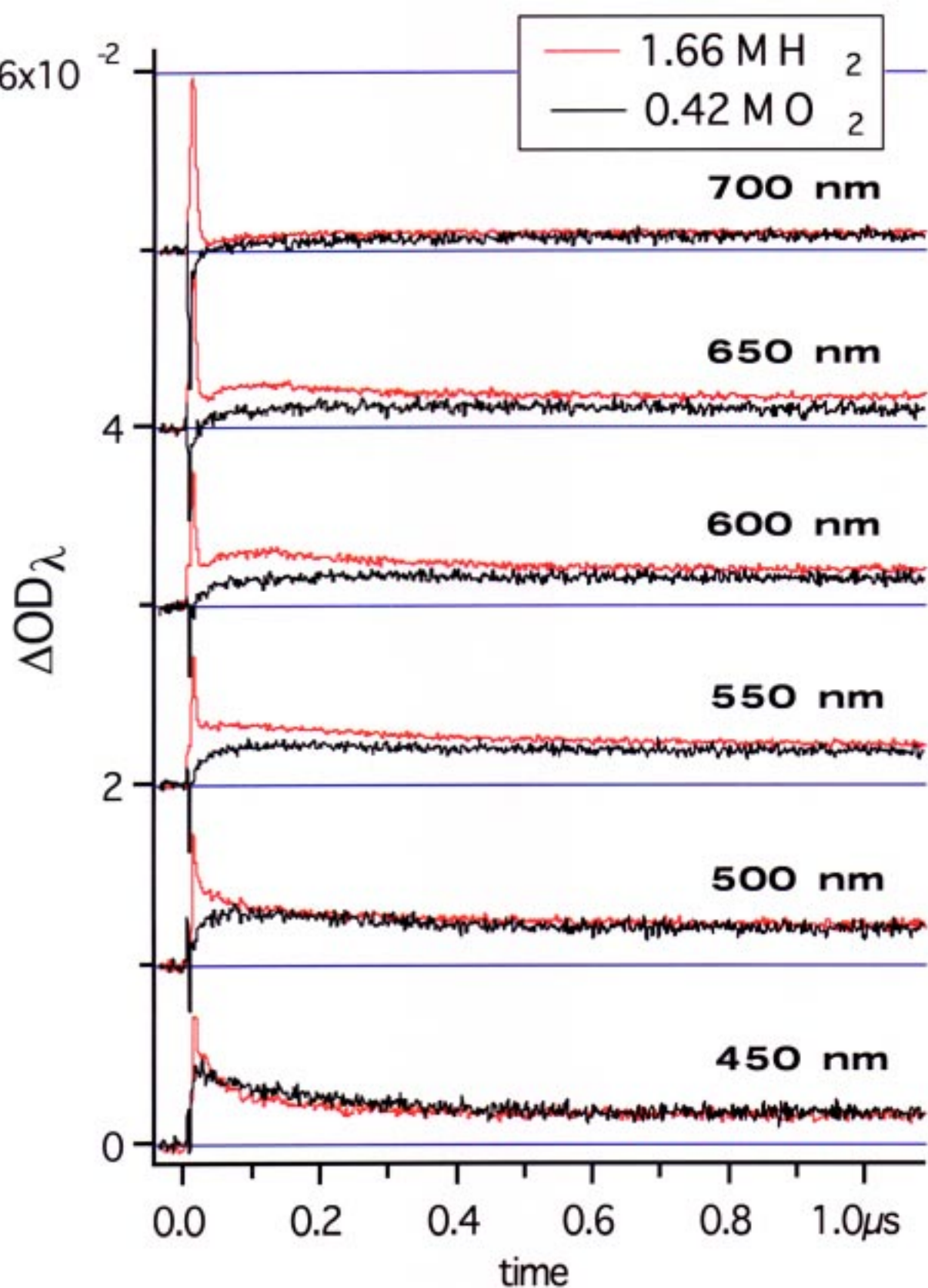


Fig. 27S, Shkrob et al

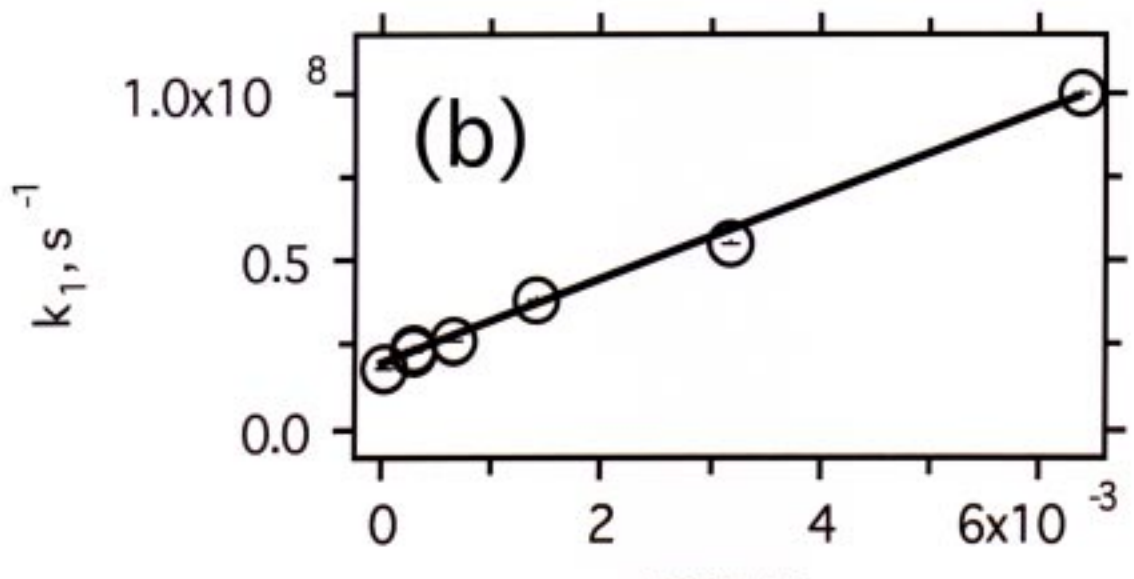
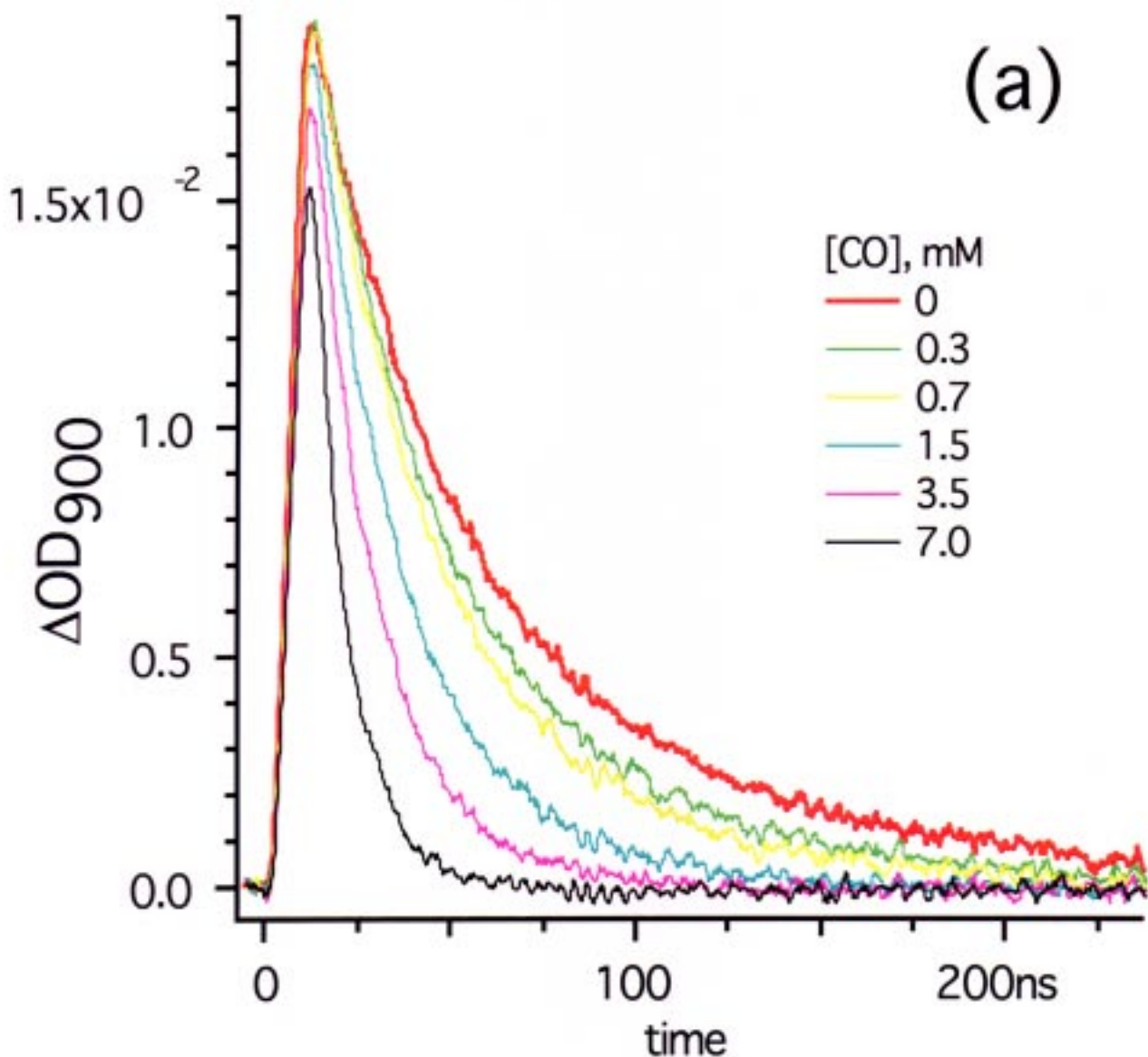


Fig. 28S, Shkrob et al

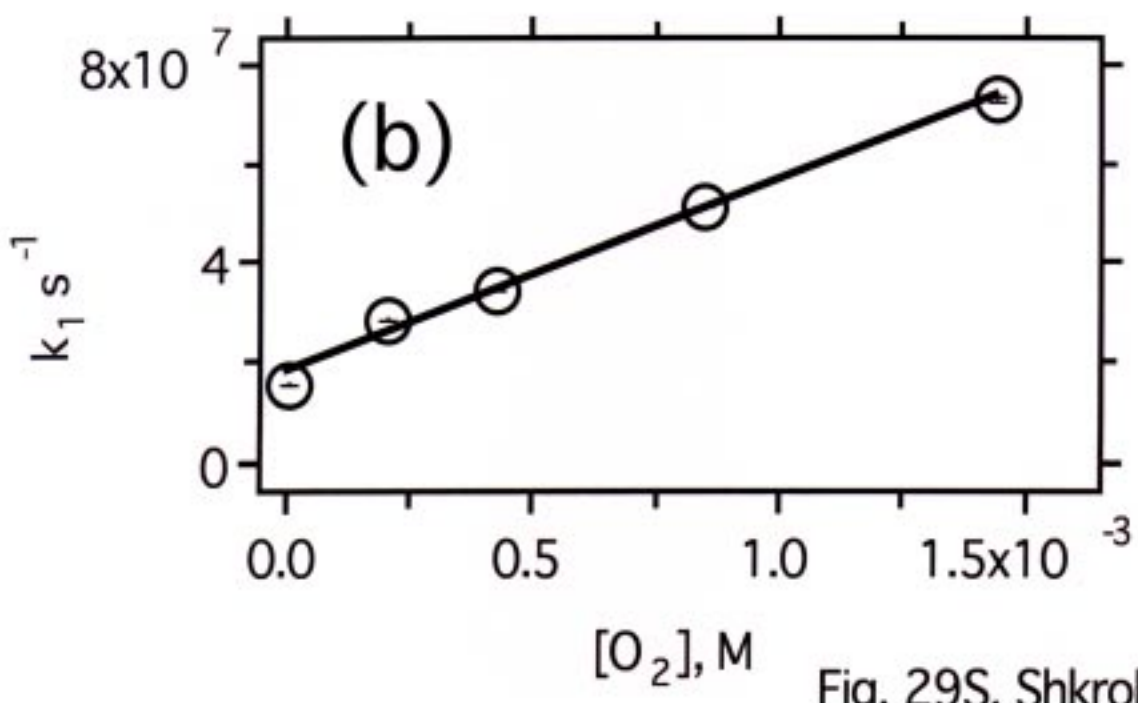
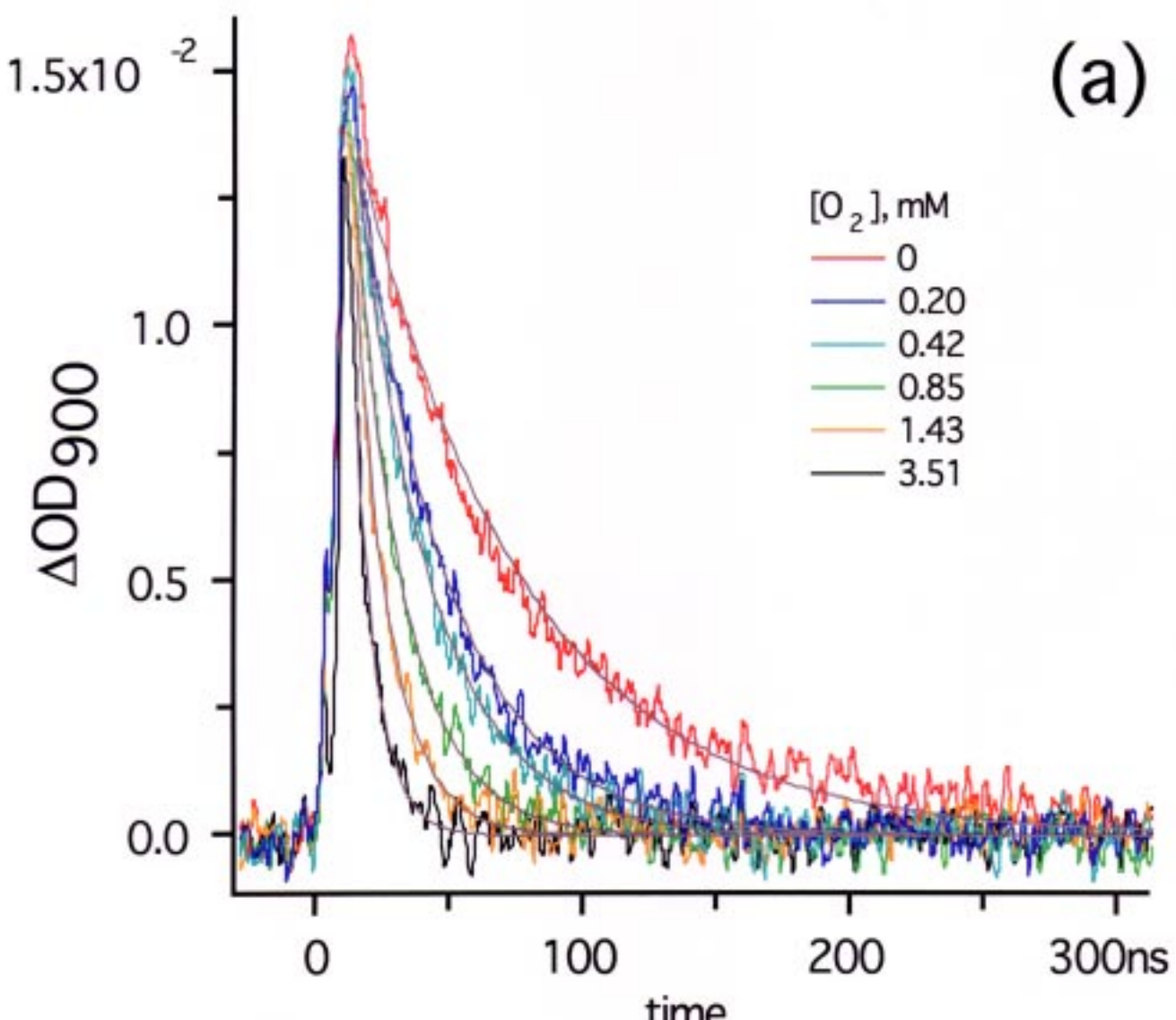


Fig. 29S, Shkrob et al

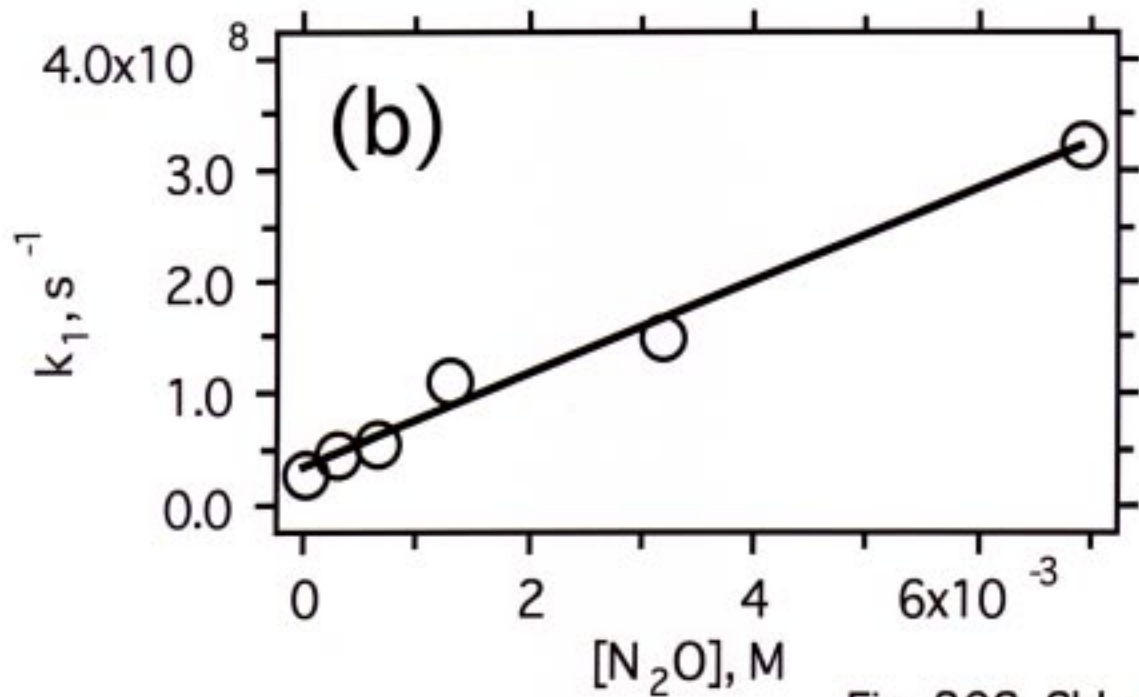
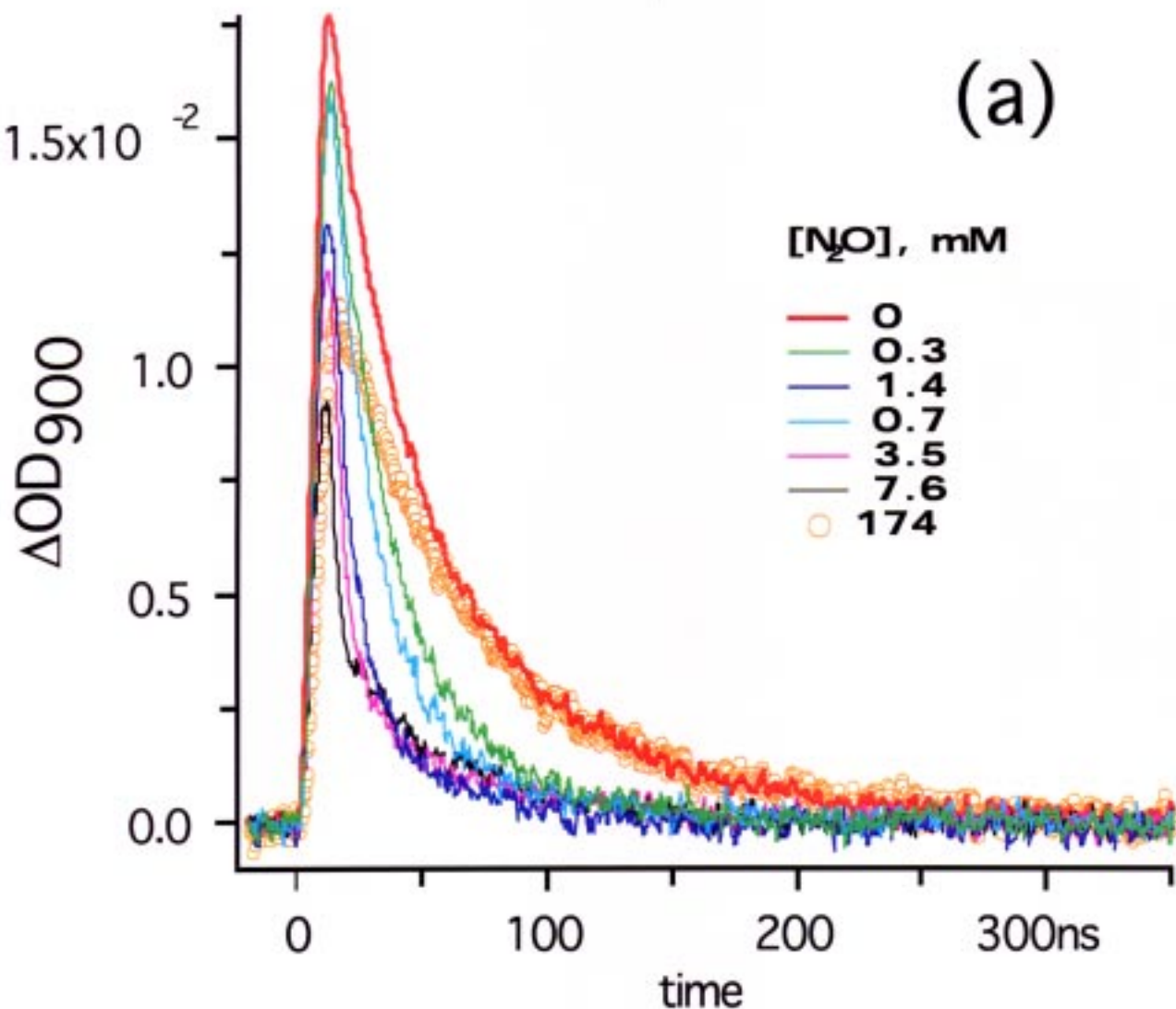


Fig. 30S, Shkrob et al

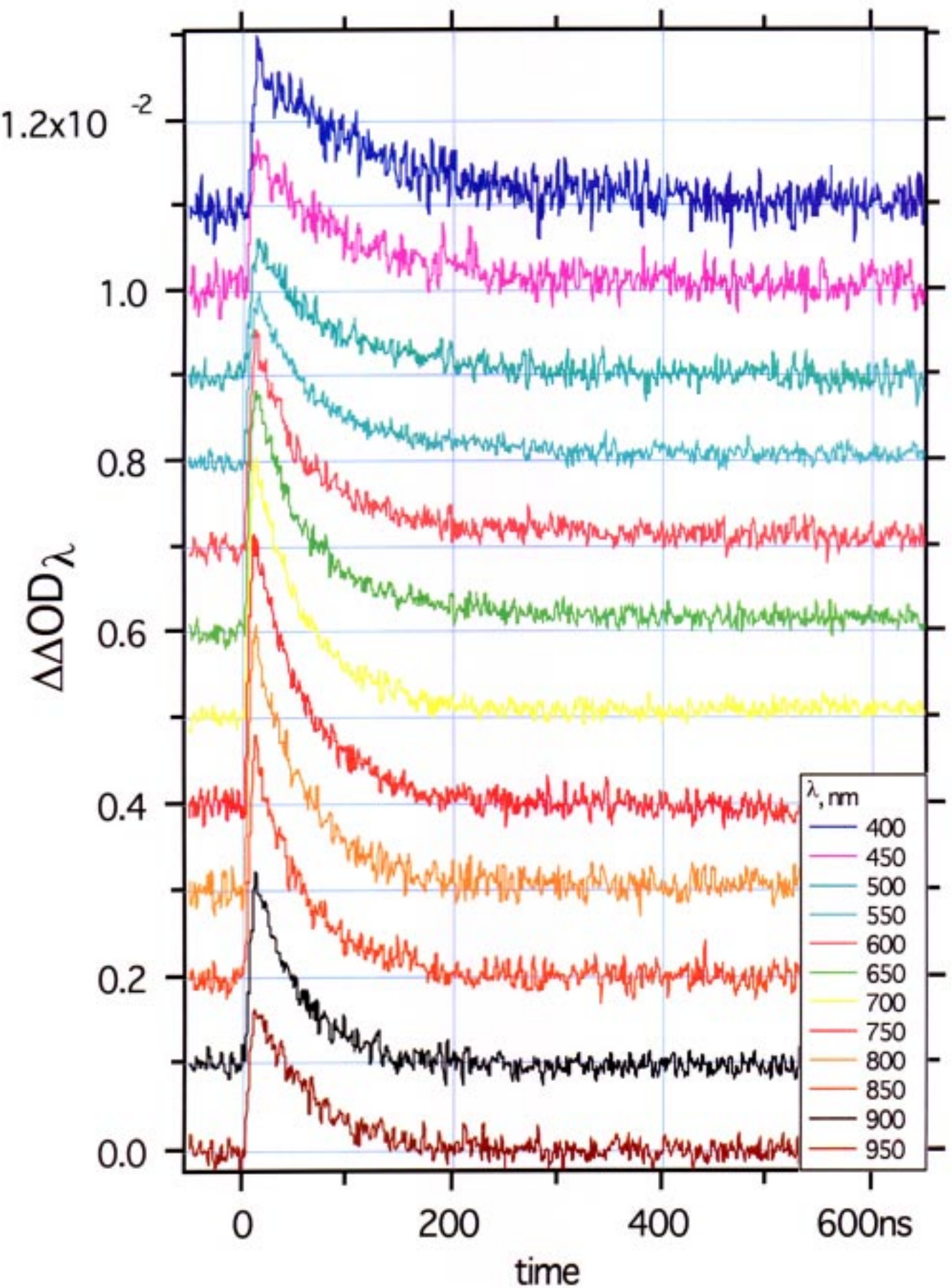


Fig. 31S, Shkrob et al

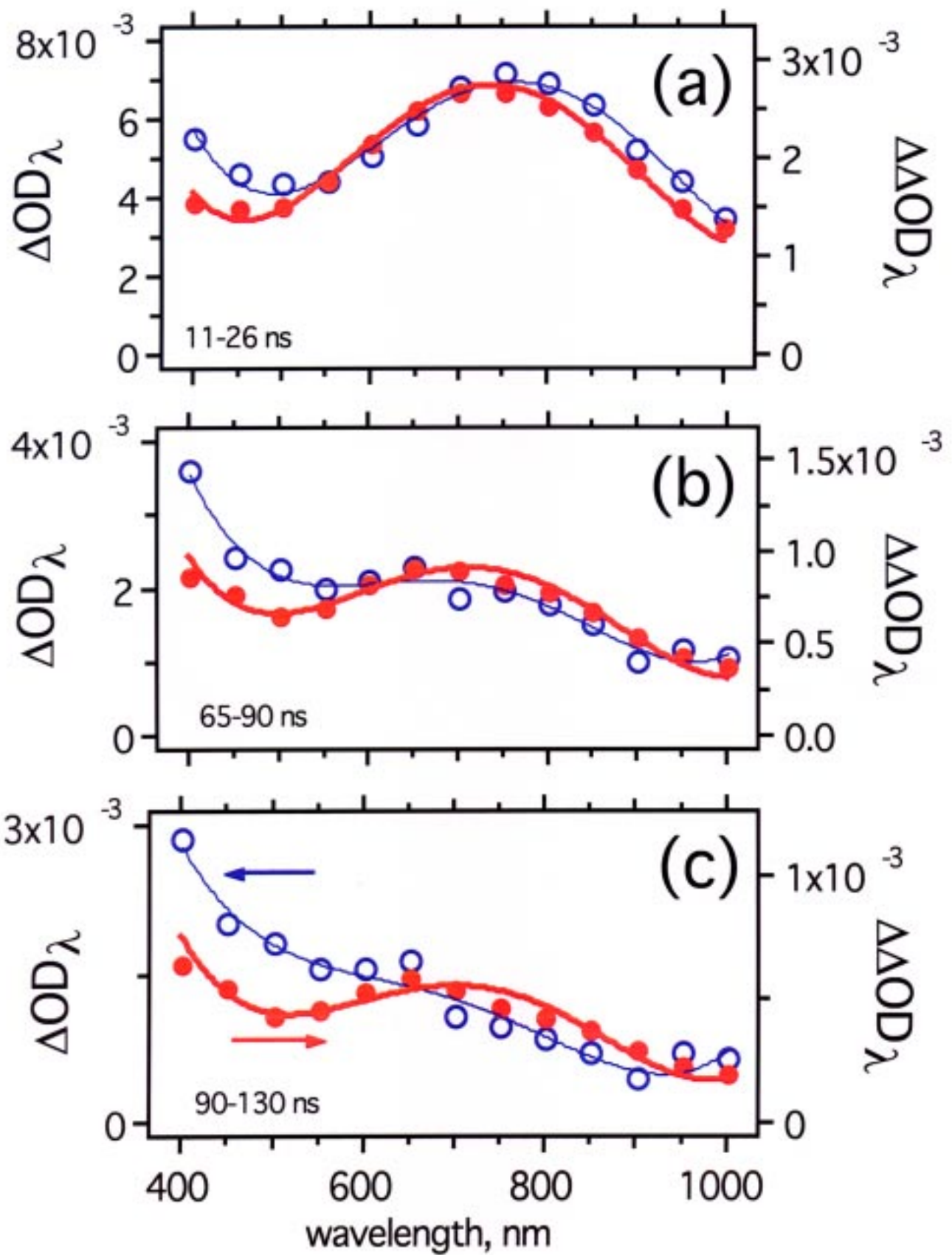


Fig. 32S, Shkrob et al

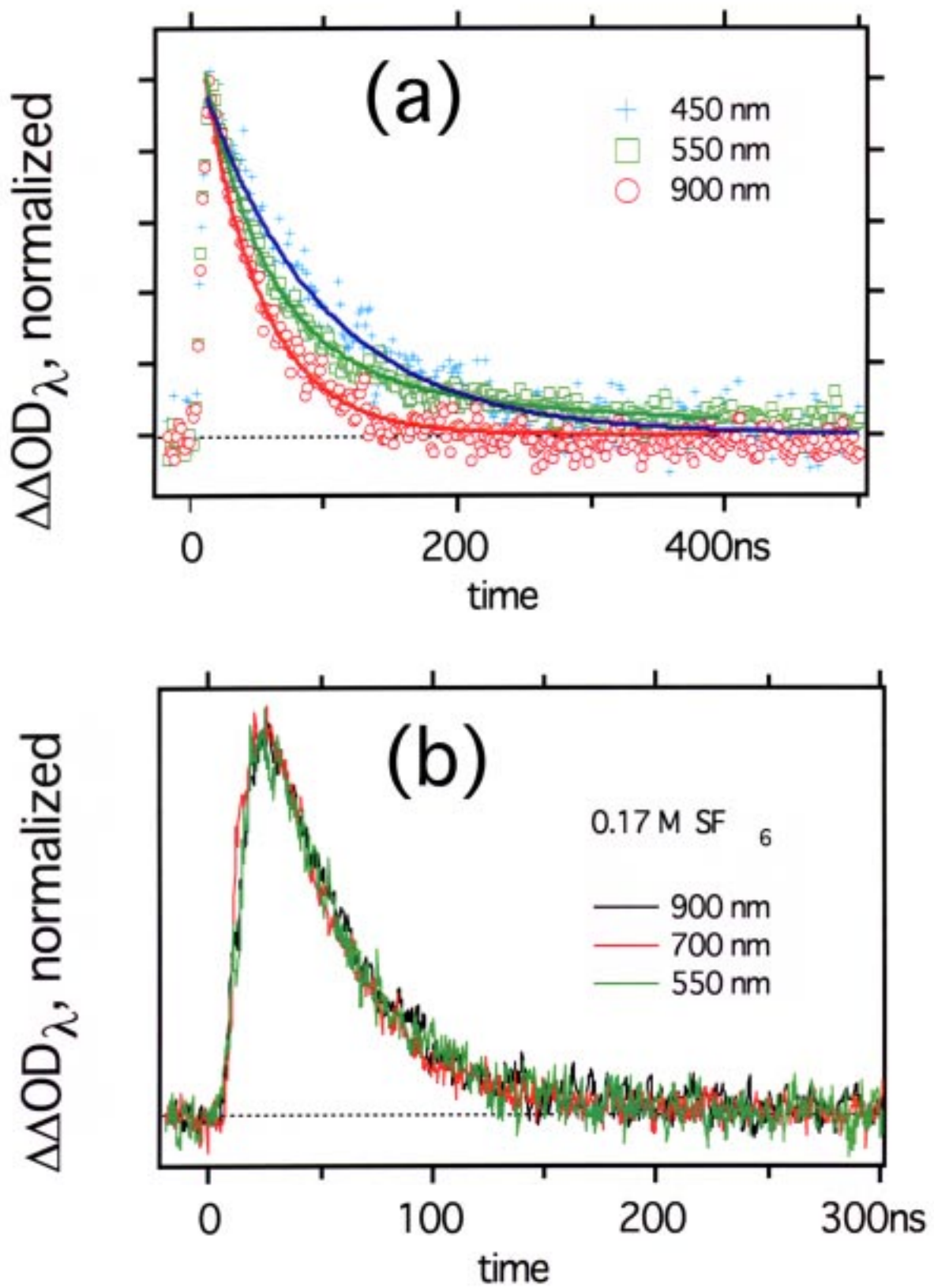


Fig. 33S, Shkrob et al

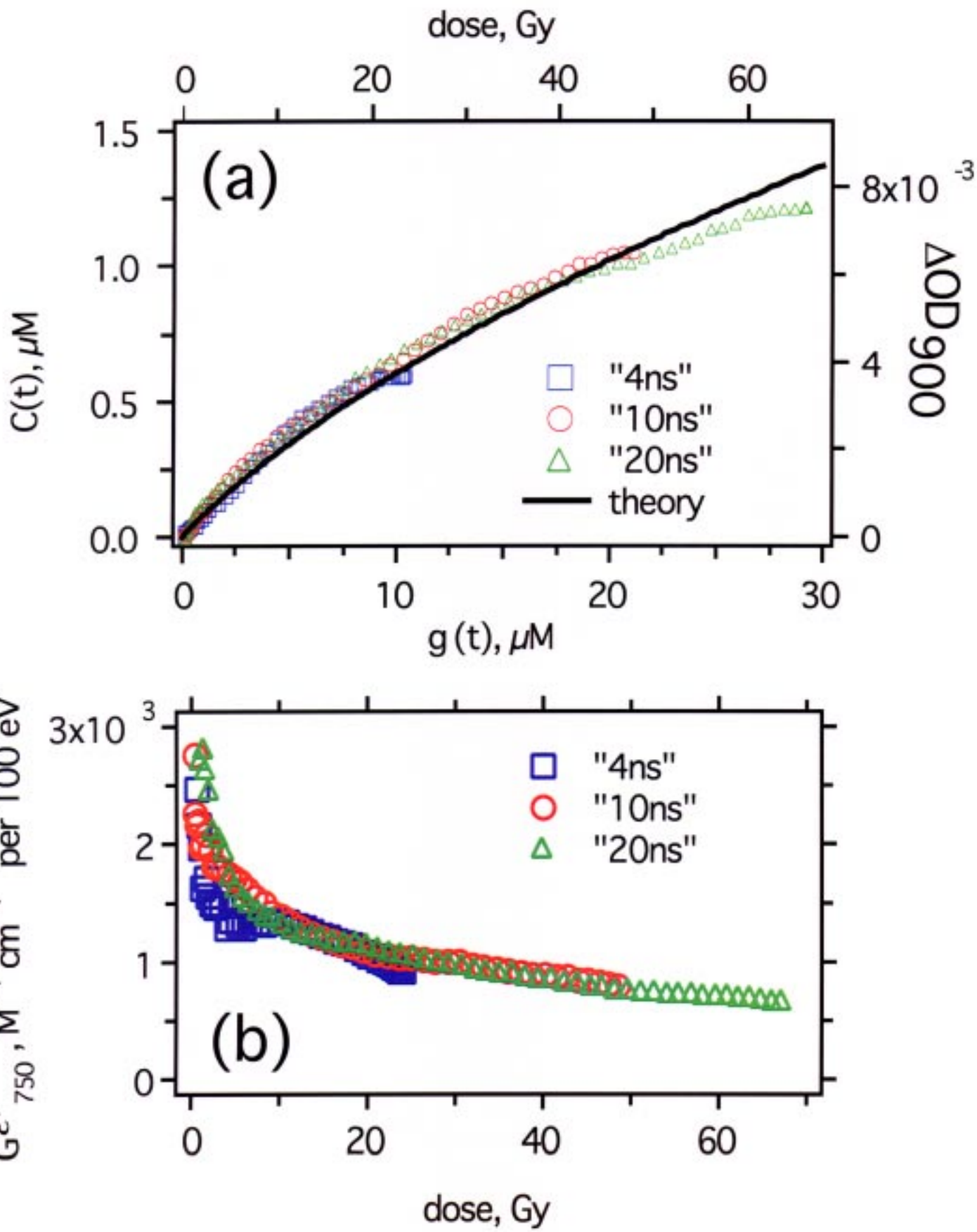


Fig. 34S, Shkrob et al

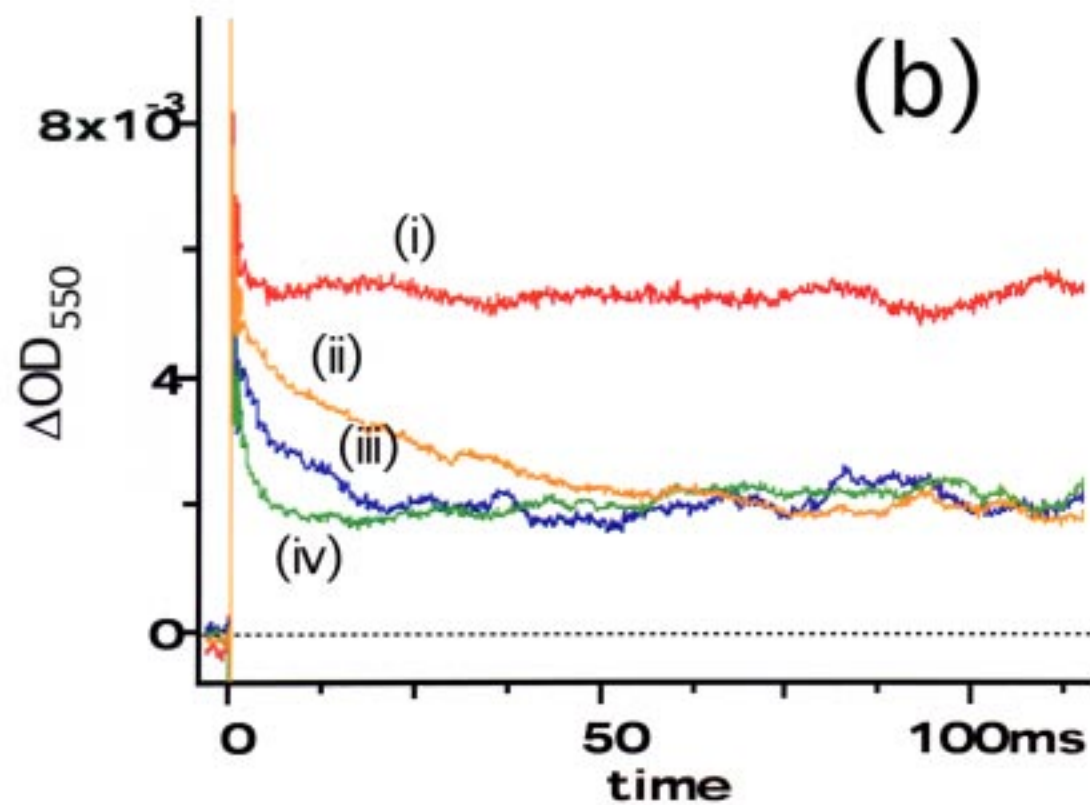
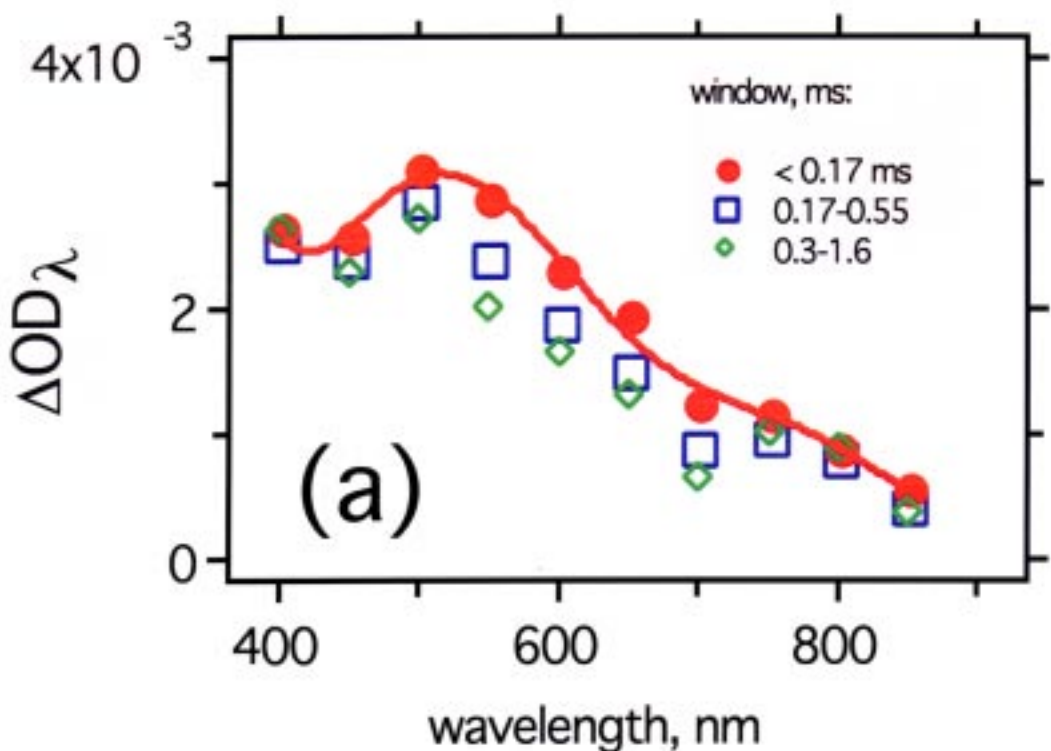


Fig. 35S, Shkrob et al

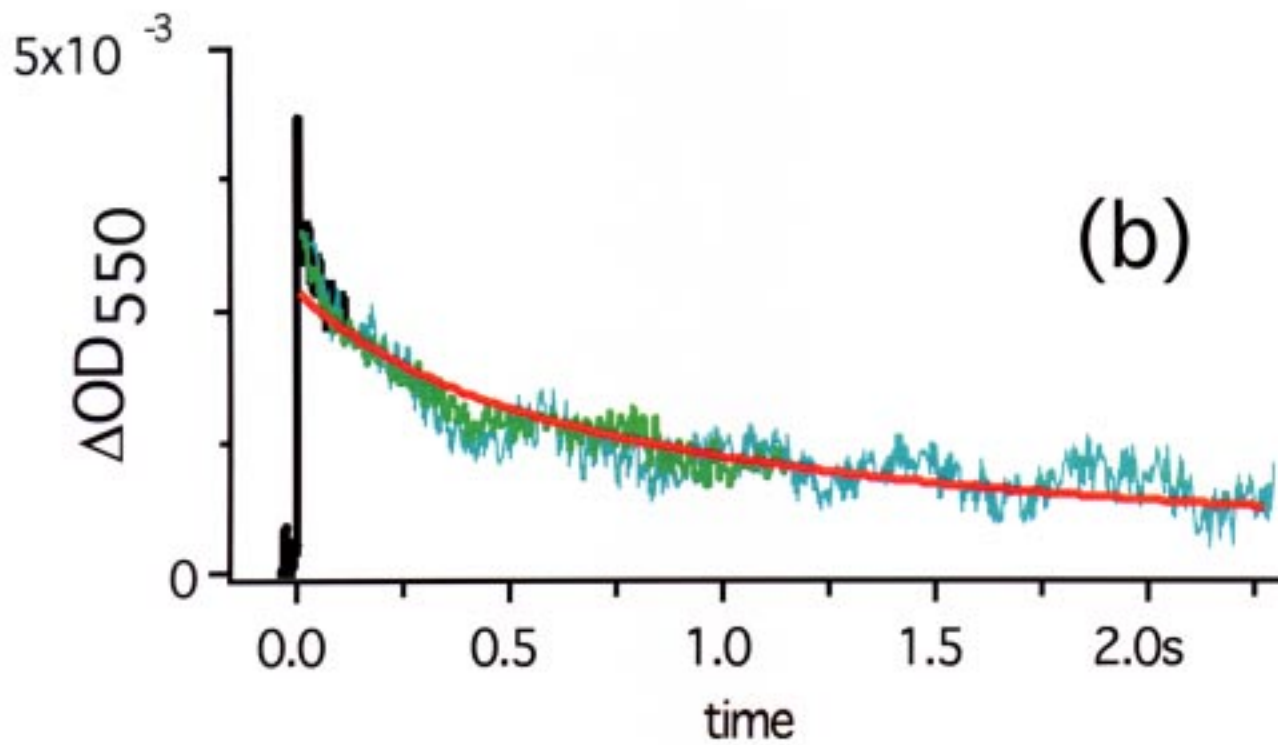
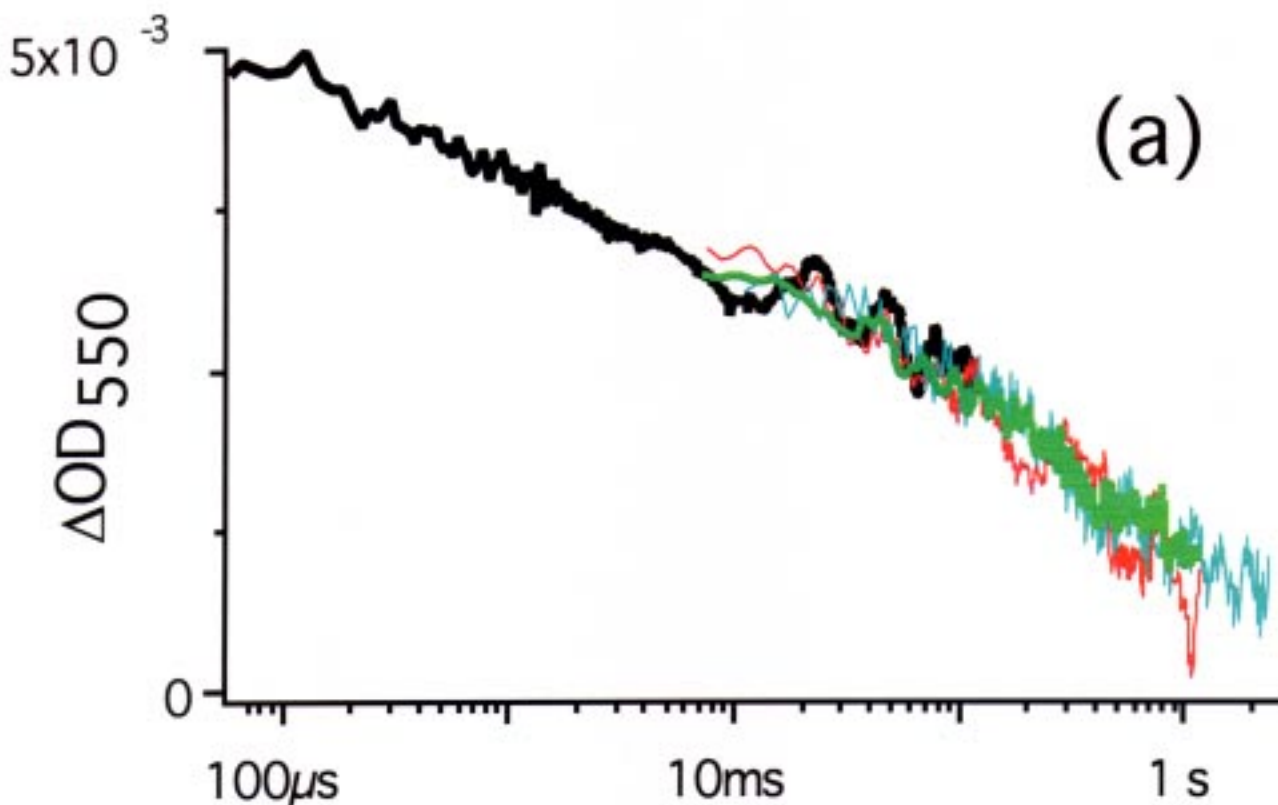


Fig. 36S, Shkrob et al

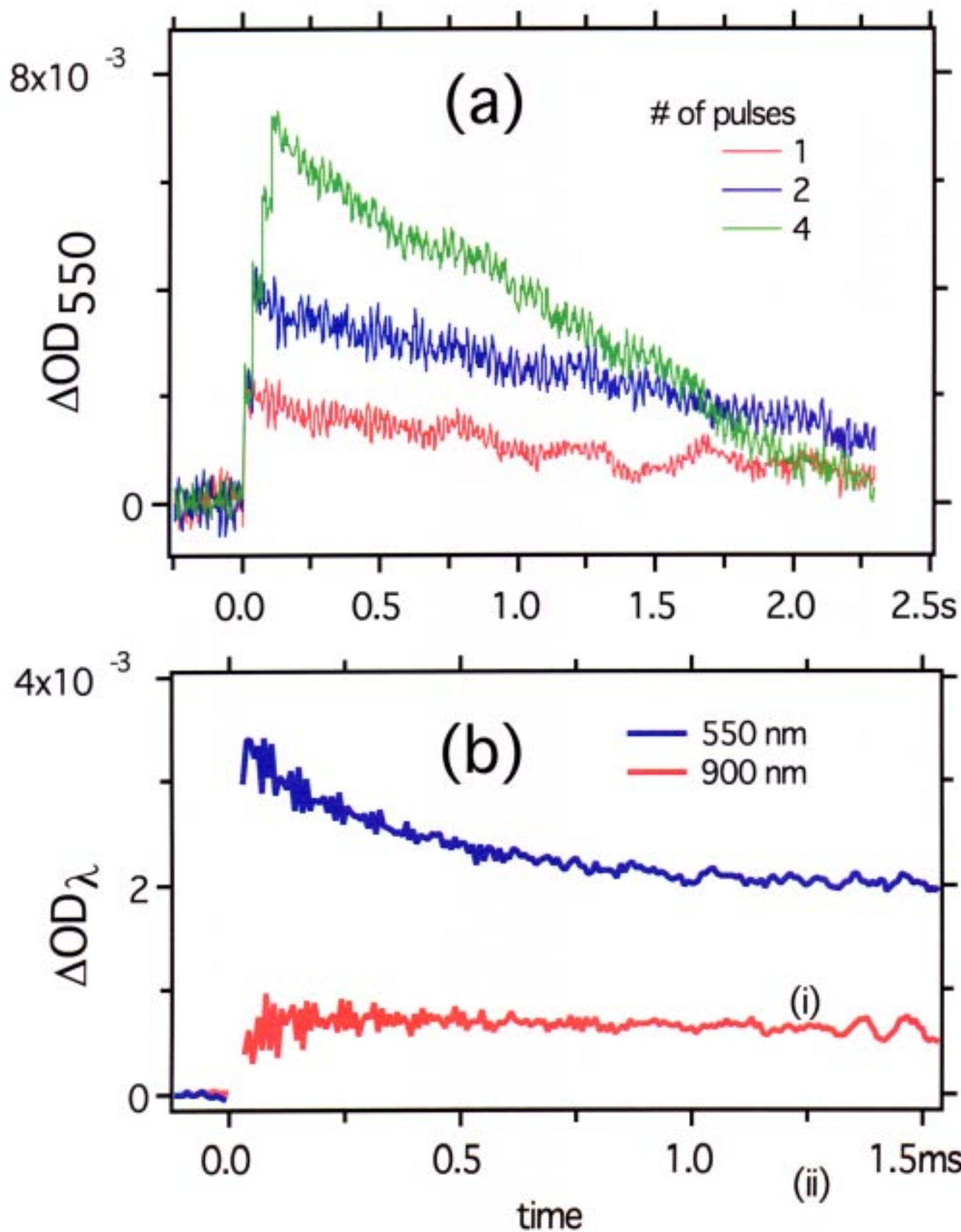


Fig. 37S, Shkrob et al

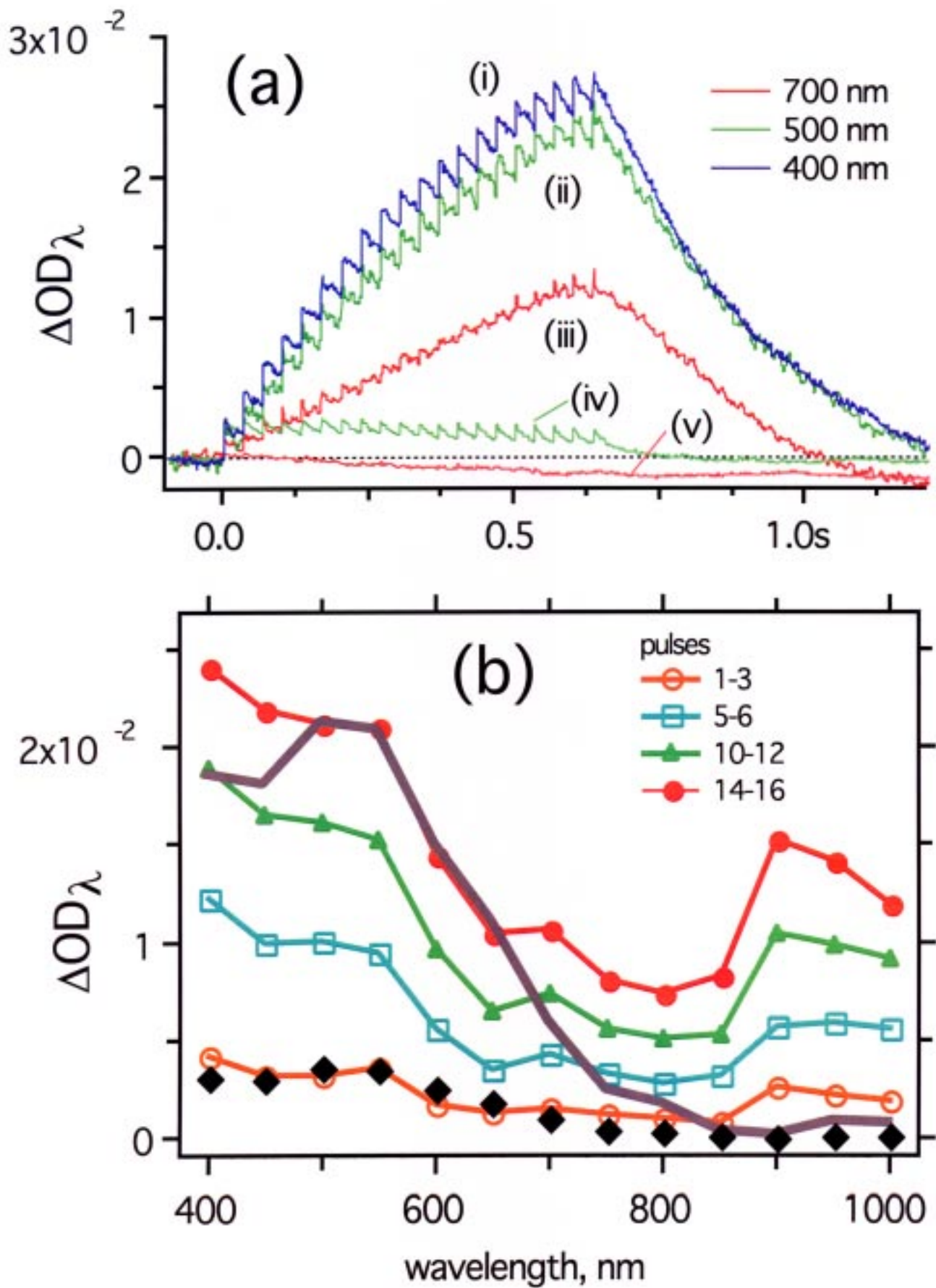


Fig. 38S, Shkrob et al

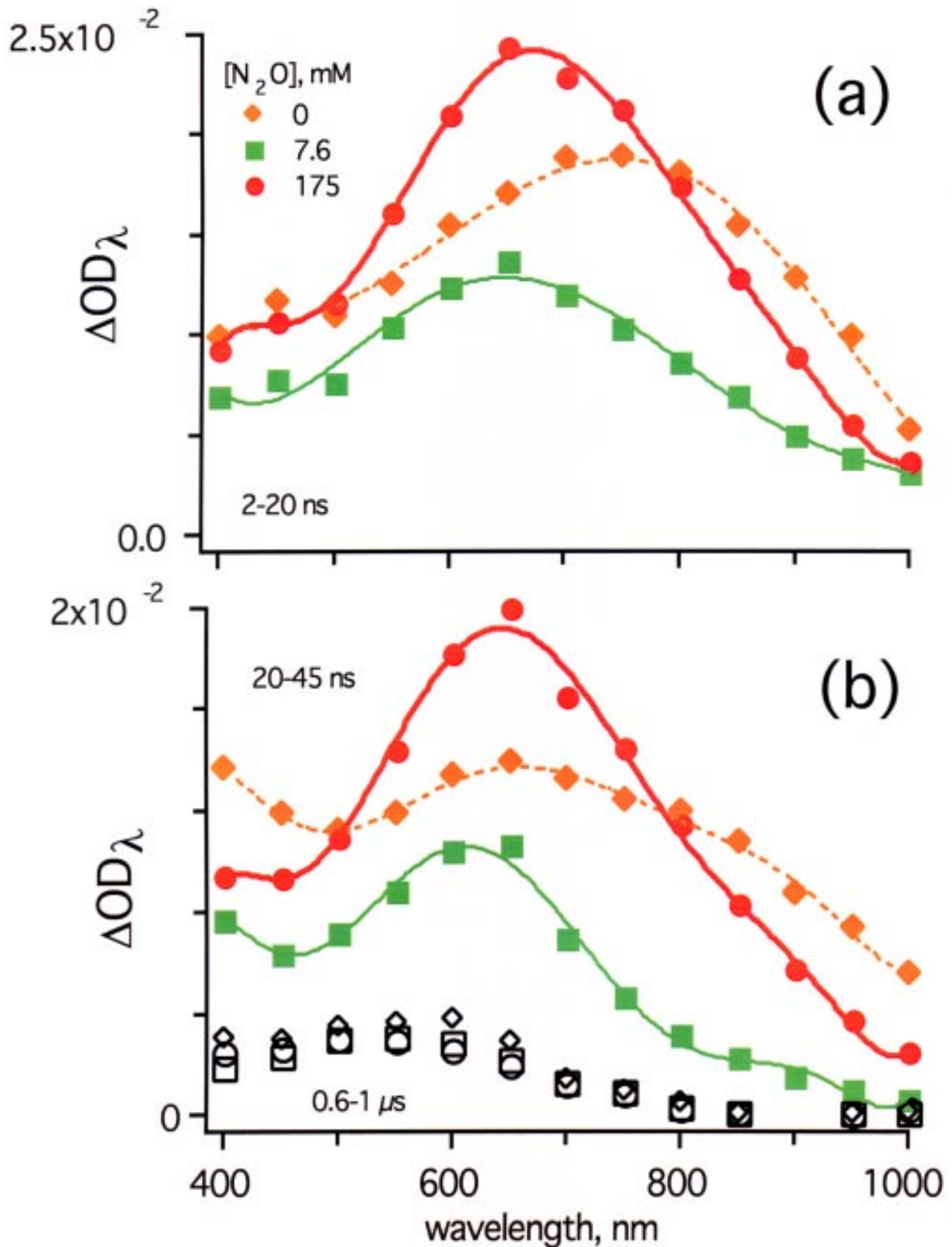


Fig. 39S, Shkrob et al

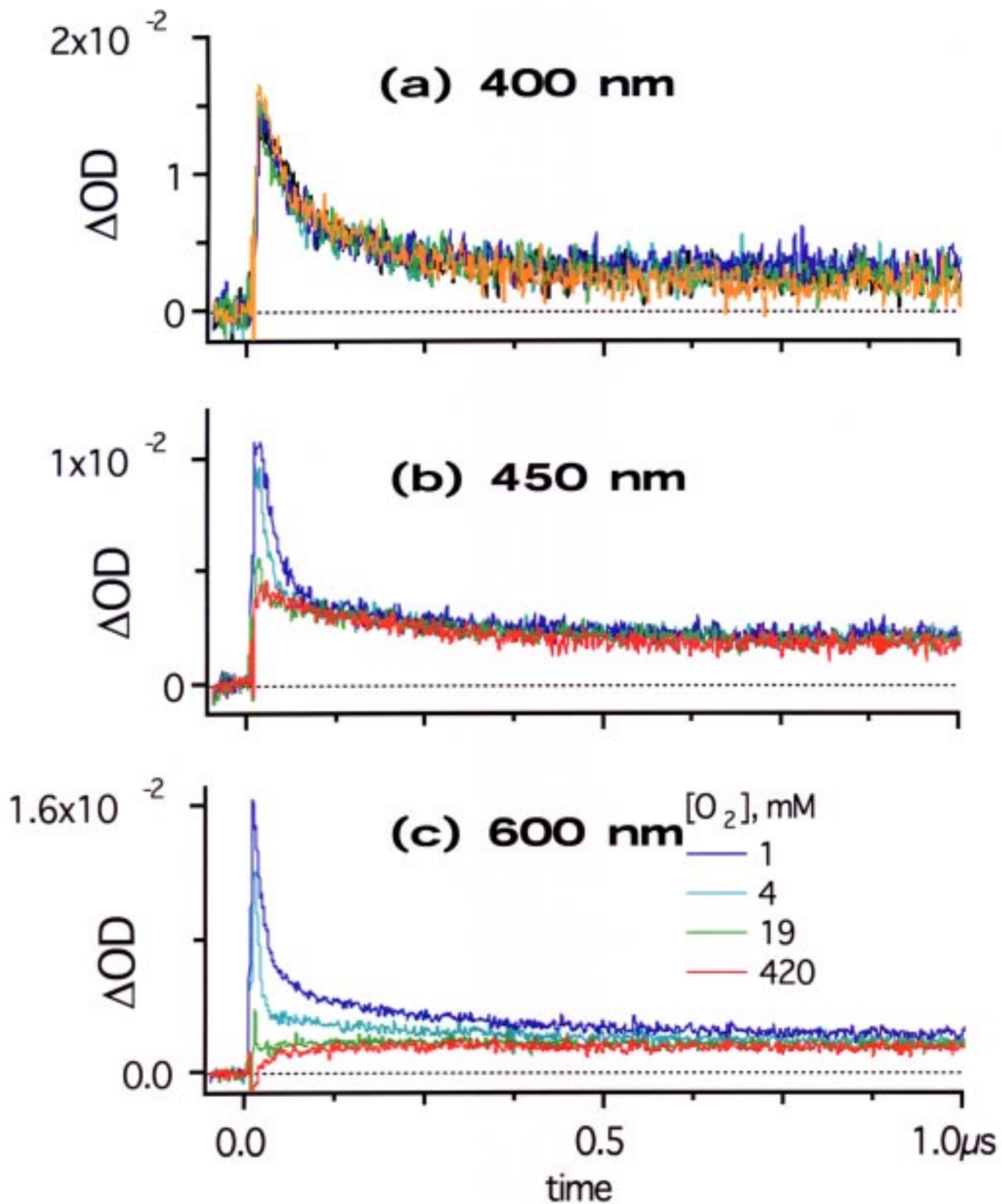


Fig. 40S, Shkrob et al

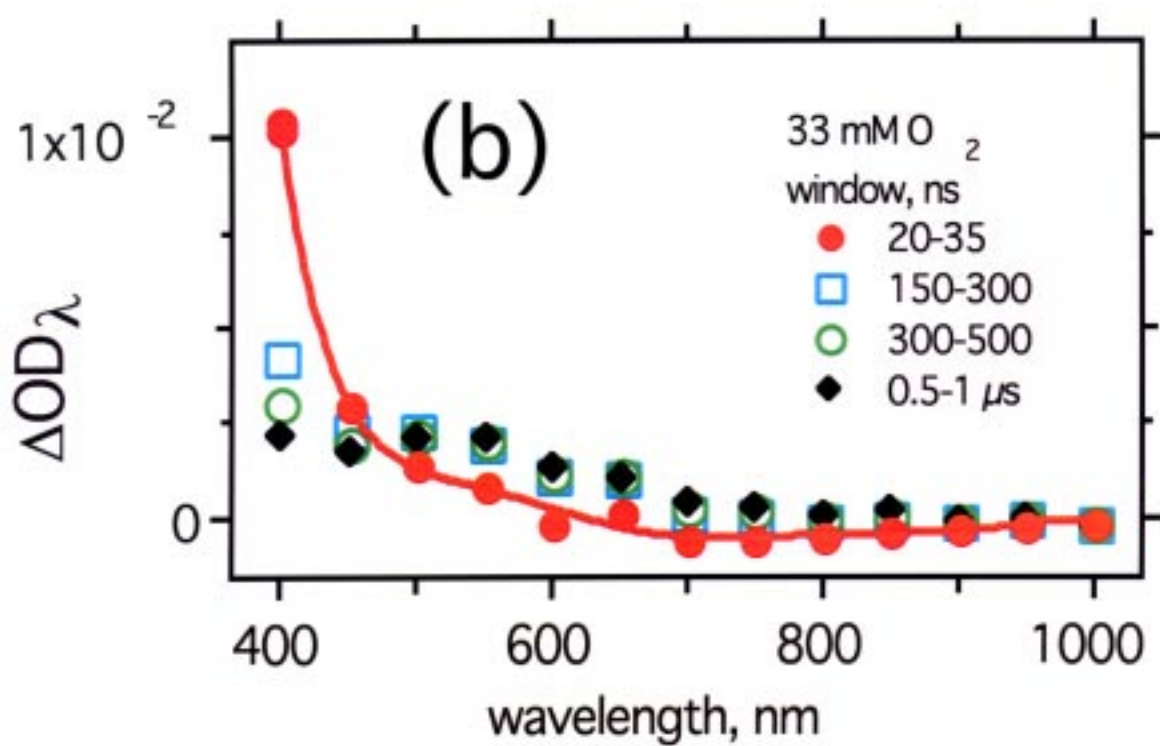
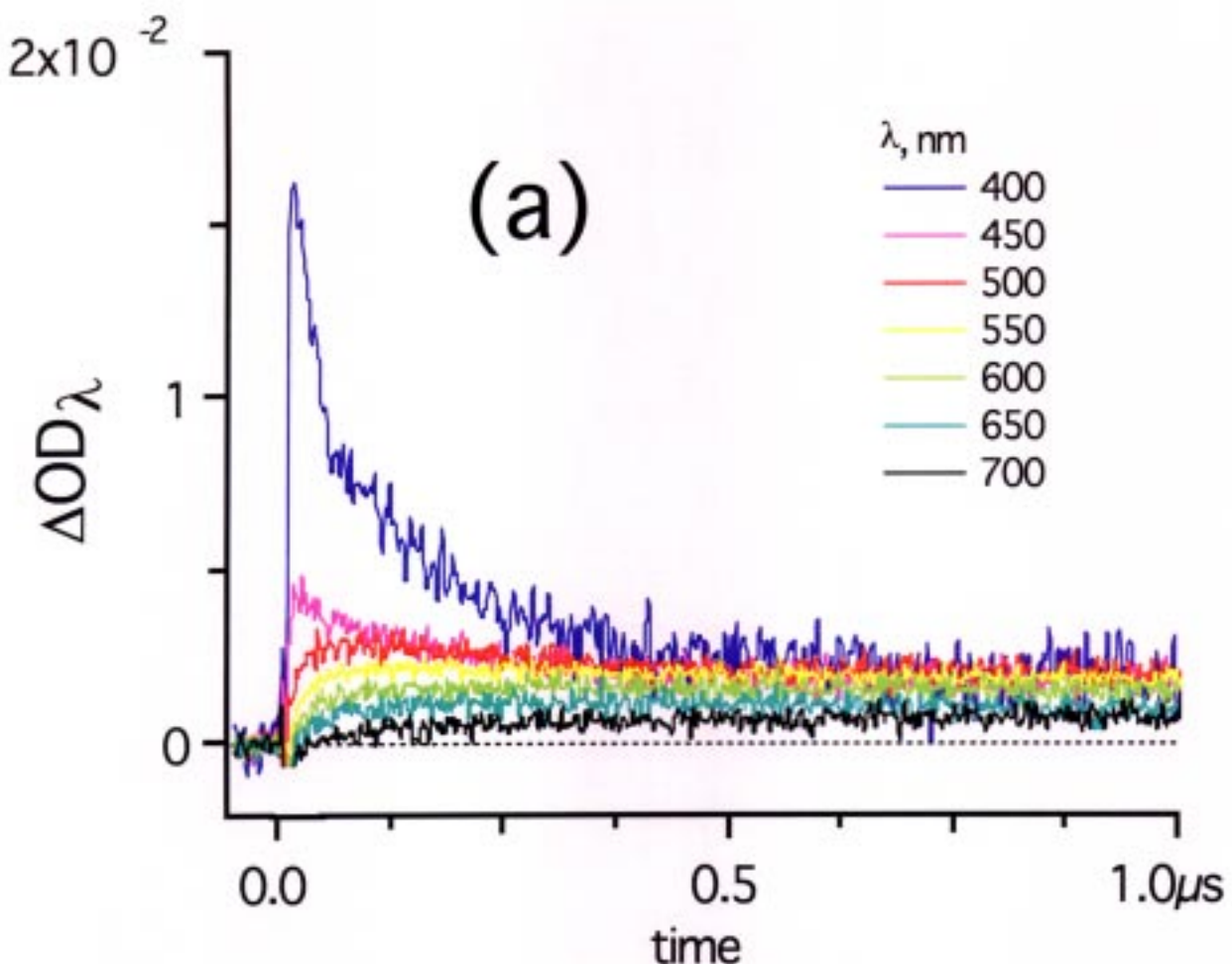


Fig. 41S, Shkrob et al

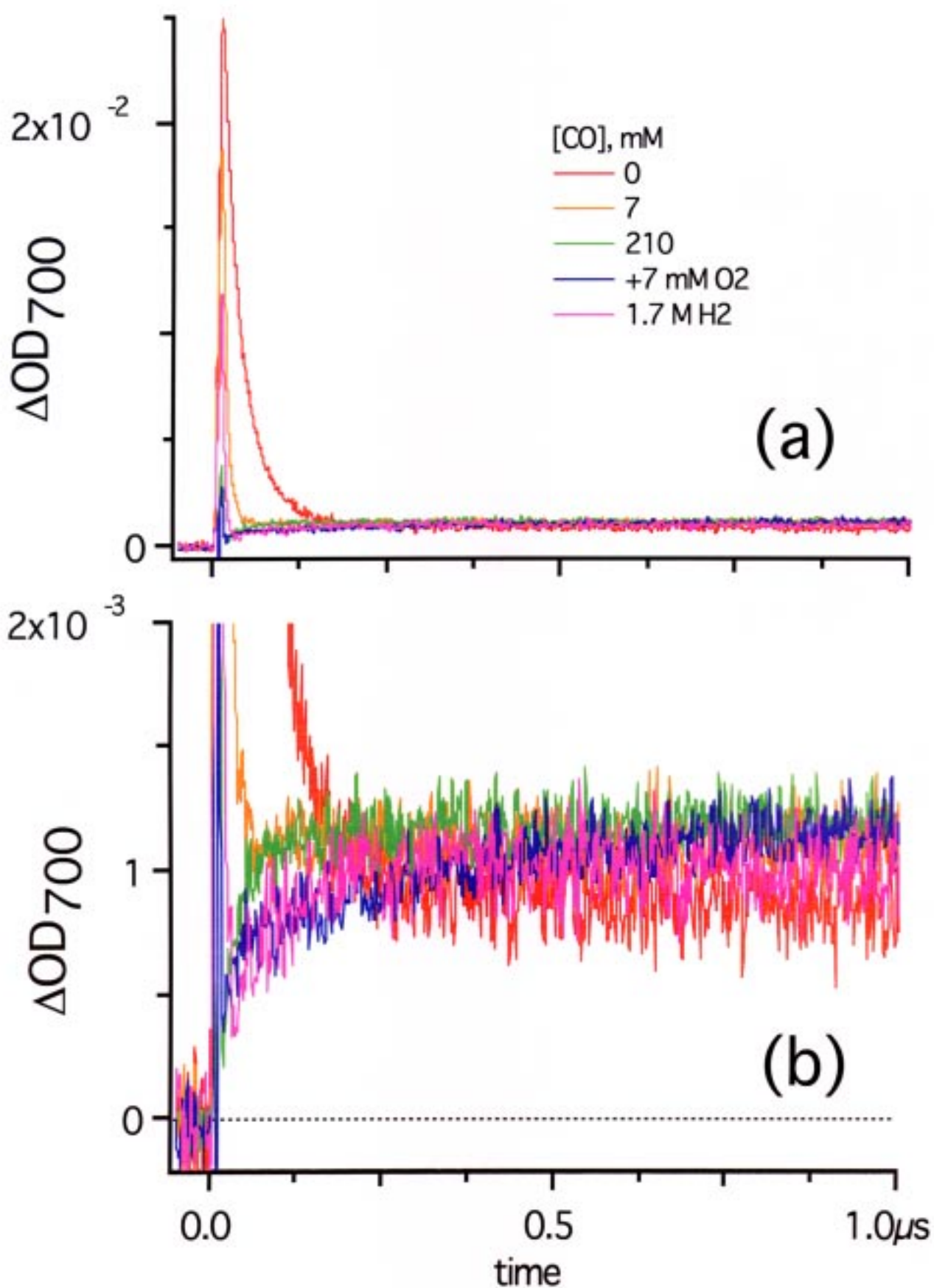


Fig. 42S, Shkrob et al

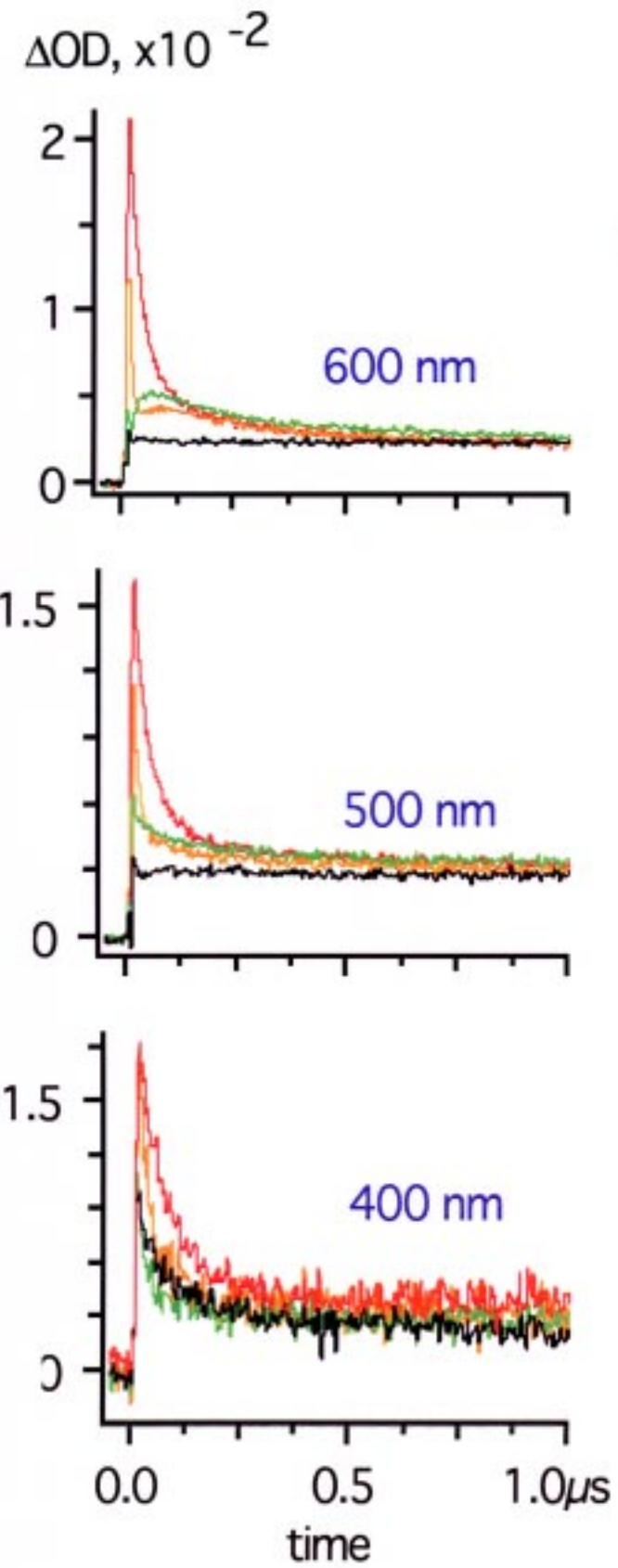
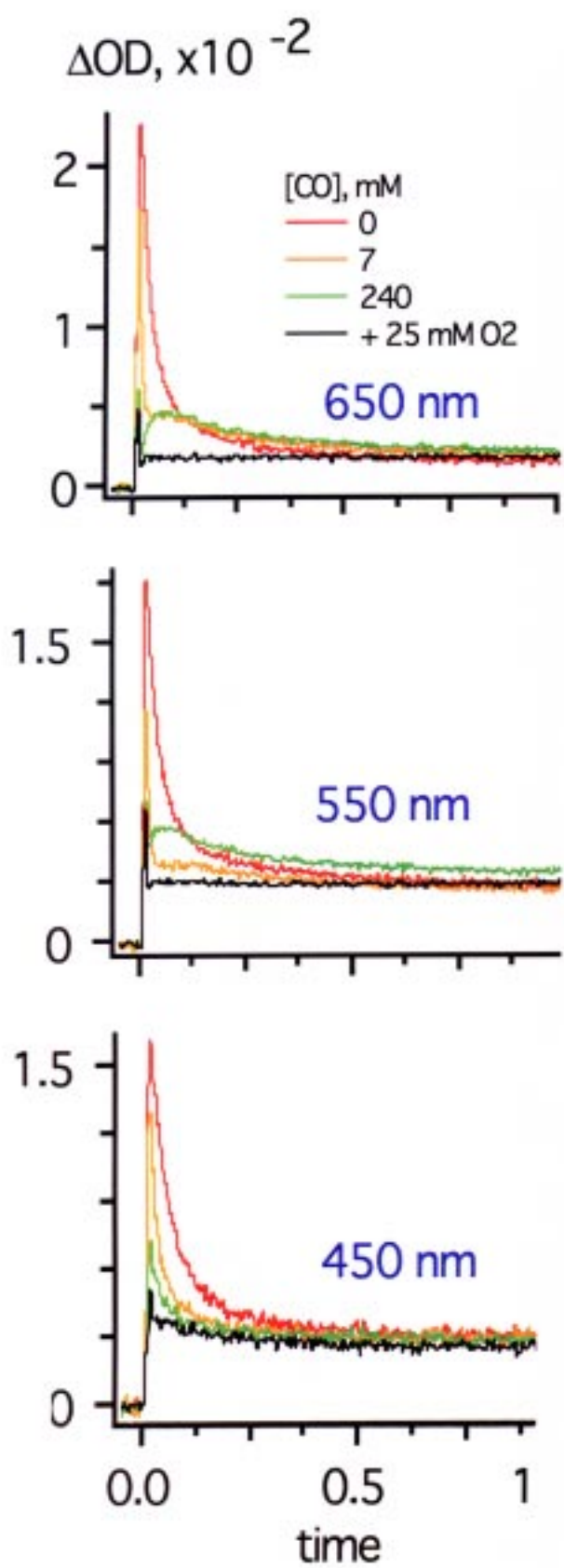


Fig. 43S, Shkrob et al